#### 平成26年度 全学教育 医工学基礎

# 第4回 生体内の流れ

最新の測定技術や、スーパーコンピュータによるシミュレーションにより、生体内の複雑な血液の流れを理解する。

2014年11月11日

流体科学研究所 医工学研究科

早瀬敏幸

## 講義内容

- 1. はじめに
- 2. 血液の流れ(循環系)
- 3. 血液の流れの計測
- 4. 血液の流れに関する研究(東北大学)
- 5. まとめ

# 1. はじめに

## 流れとは?

# 行く川の流れは絶えずして、しかももとの水に非ず。

つながり

動き

鴨長明「方丈記」



広瀬川

流れはどれ?「液体」と「流体」はちがう/



# 様々な流れの例

流れの	大きさ	流れの例
10	),000 km 🔟	マグマの流れ
本州 1	,000 km +	海流 ジェット気流
	100 km $\perp$	台風
	10 km +	河川
泉が岳	1 km 丄	火山爆発
у, ч.с. дд	100 m	新幹線周りの流れ
	10 m	ロケットジェット旅客機
ヒト	1 m +	発電機のタービン 水泳
	10 cm	半導体プロセスのプラズマ流
	1 cm _	血管内の血流
蚊	$1 \text{ mm} \perp$	メダカ
. • •	100 μm –	泳動型マイクロマシン
赤血球	10 μm _	毛細血管内の血流
小皿珠	1 μm ∔	血液中のマイクロバブル
	100 nm	ナノバブル
原子	10 nm ⊥	ナノマシン

# 2. 血液の流れ(循環系)

## 血液

## 量

血液重量:体重の約8%

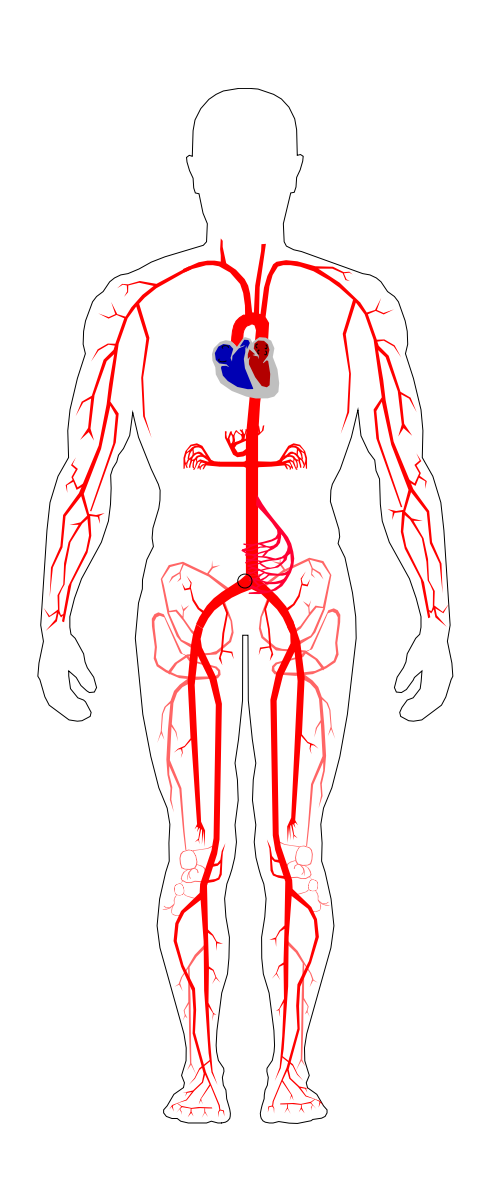
(体重65kgなら5kg)

血液の体積:約5リットル

(比重は1.06)

## 組成

有形成分(45%体積) 無形成分(55%体積)

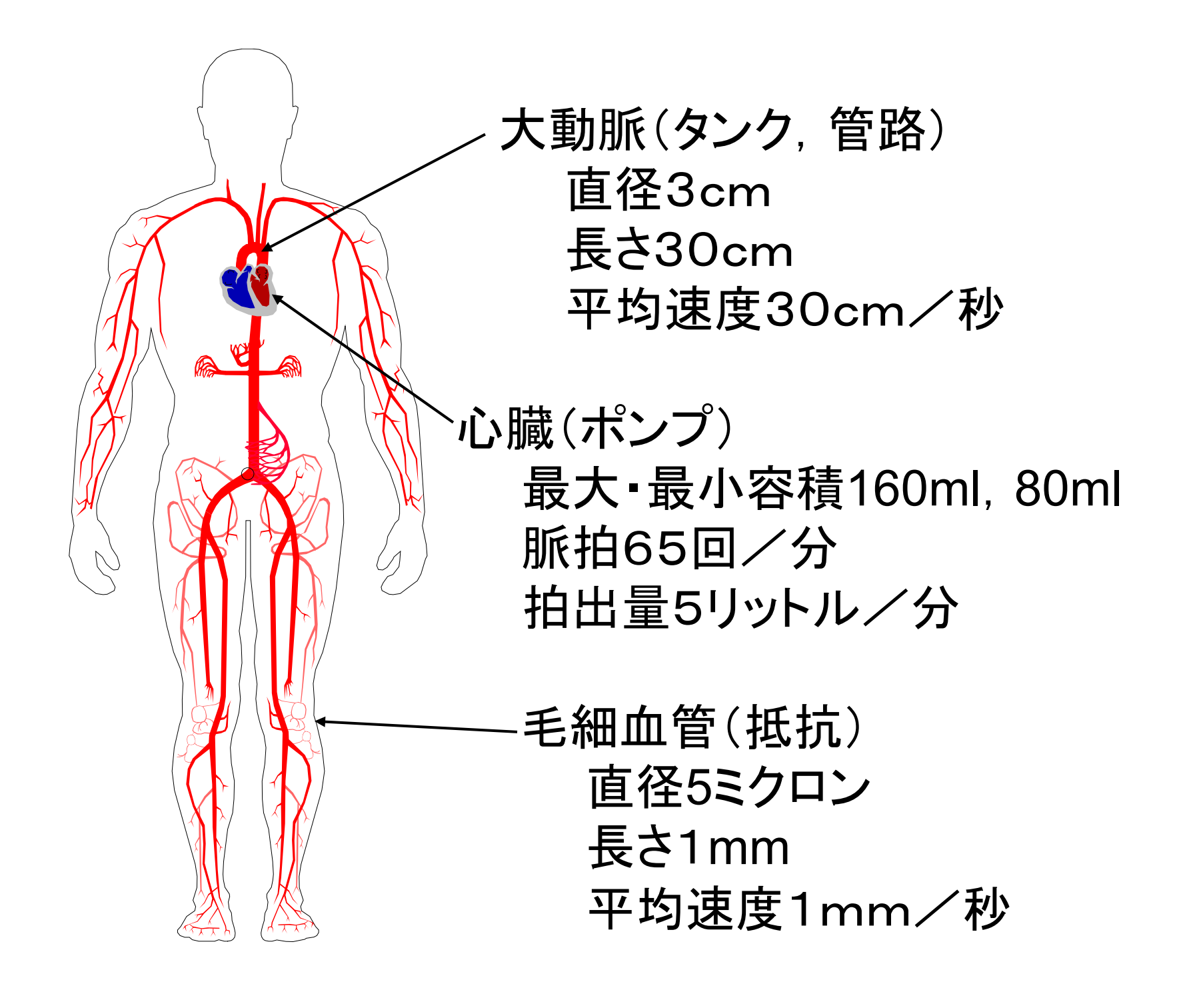


## 血液の有形成分

- ・赤血球(95%) 酸素と二酸化炭素の輸送 直径8ミクロン×厚さ2ミクロンの円板状 寿命は120日
- 白血球(1%) 抗体の生産や細菌の消化 直径7-20ミクロンの球状 寿命は数時間から数日
- ・血小板(4%)血液の凝集や凝血直径3ミクロンの平板状寿命は数日

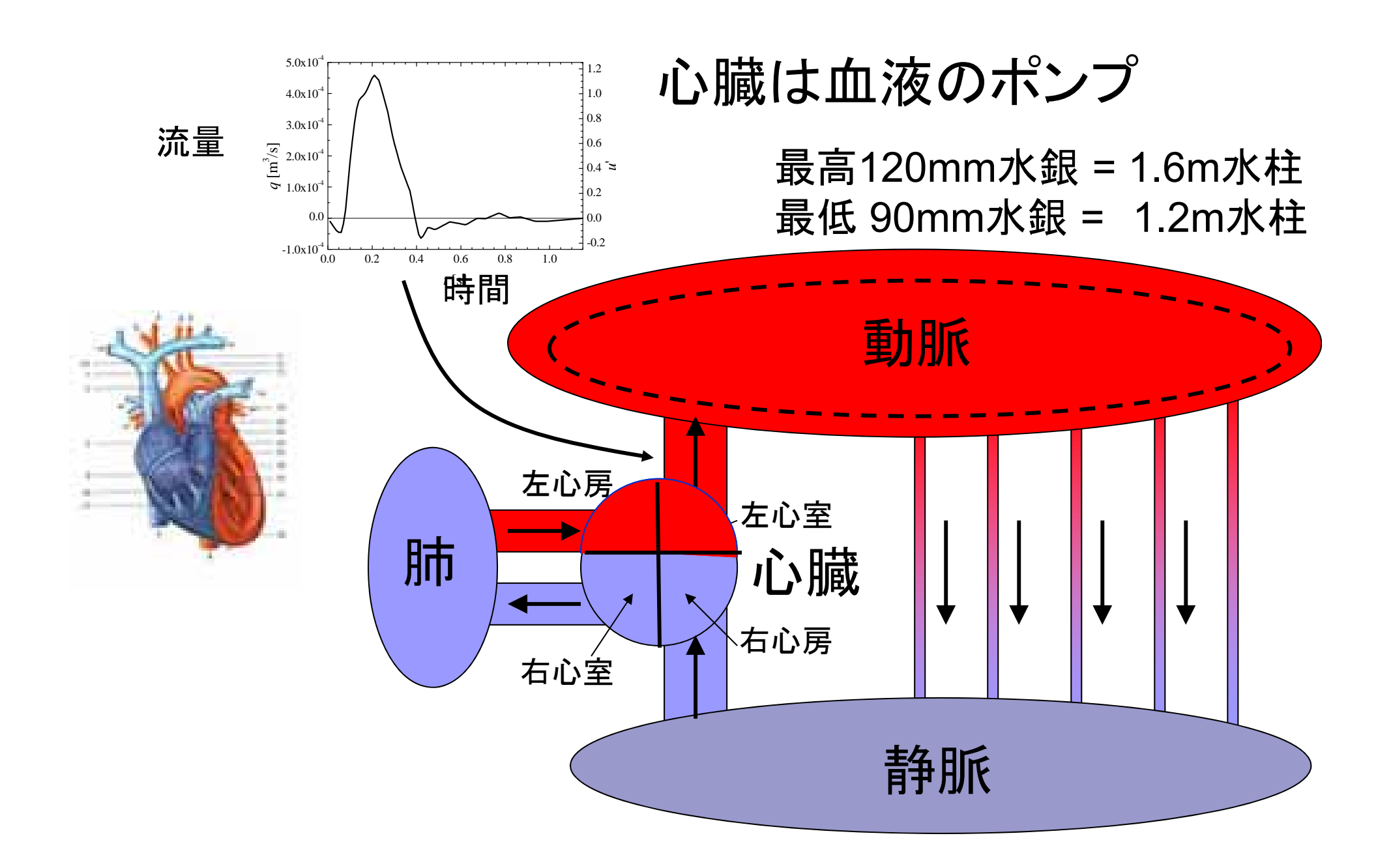
## 血液の無形成分

血漿栄養分や老廃物の輸送水(90%), 血漿タンパク(7%), 無機質(3%)



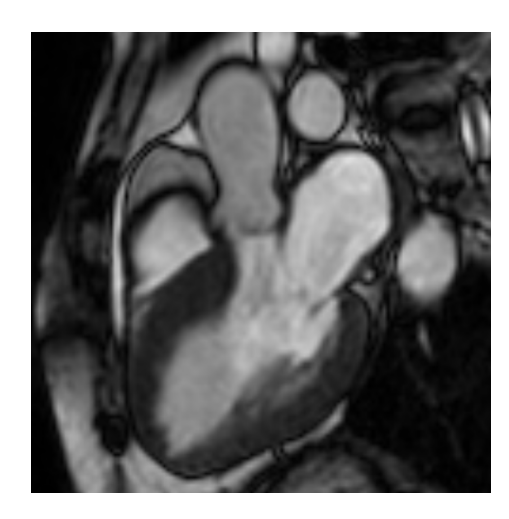
## 血液循環のイメージ

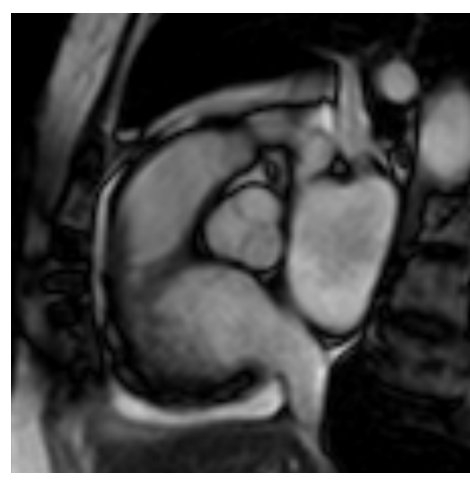
最高120mm水銀 = 1.6m水柱 この部分の圧力が血圧 最低 90mm水銀 = 1.2m水柱 動脈(膨らんだゴム風船) 毛細血管 肺 (細い管は 流れに(い) 最高10 mm水銀 静脈(血液のタンク) 最低 5 mm水銀

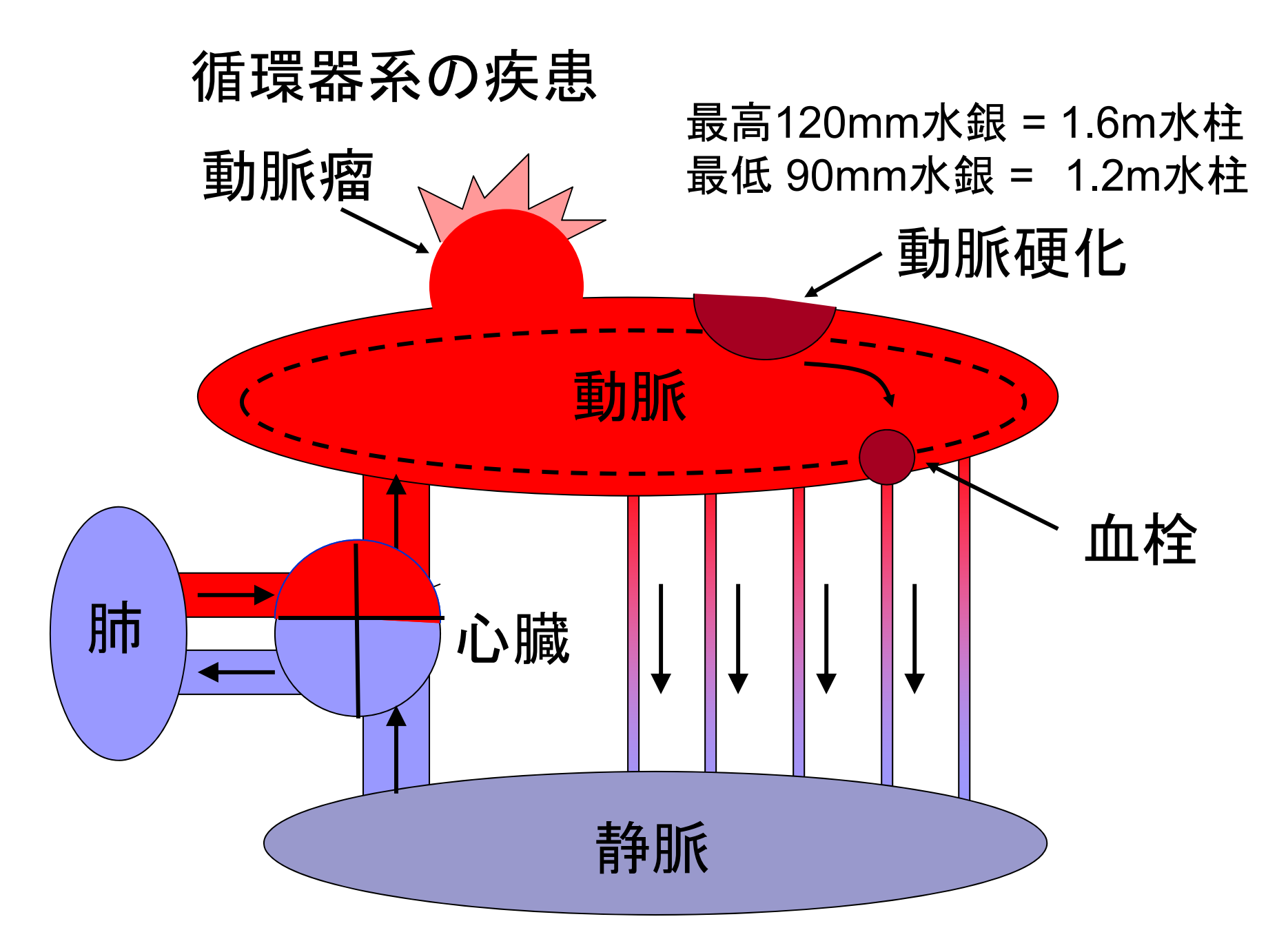


#### MRIによる心臓の動きと血流の観察









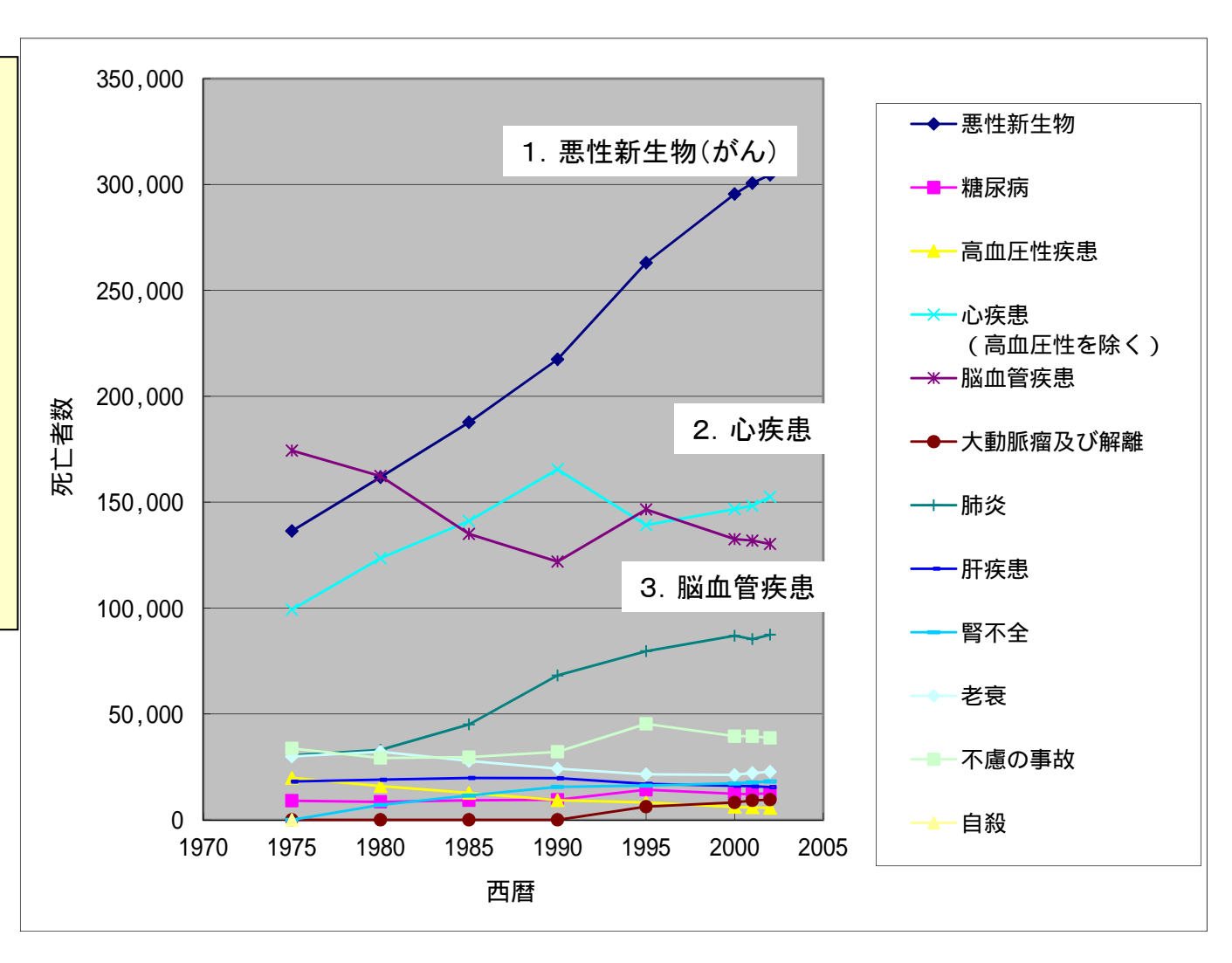
## 3. 血液の流れの計測

- 1)はじめに
- 2)X線診断装置、CT
- 3)超音波計測法

#### 1)はじめに

#### 我が国の死亡原因の推移

心疾患(高血圧性を除く) 急性心筋梗塞 その他の虚血性心疾患 不整脈及び伝導障害 心不全 脳血管疾患 くも膜下出血 脳梗塞 大動脈瘤及び解離



#### 医用画像診断装置

体内構造物に体外からエネルギーを与え、構造物との作用から生じる物理量を検出し画像化する装置

	与えるエネ ルギー	構造物との作 用	長所	短所
X線診断装 置	X線	X線減衰	空間・時間分解能が 高い	X線被曝
СТ	X線	X線減衰	機動性に優れる	X線被曝
MRI	高周波磁場	スピン緩和	コントラストが高い	空間分解 能が低い
超音波診断 装置	パルス超音 波	反射、ドプラ 効果	局所、リアルタイム、 非侵襲	コントラスト が低い
核医学診断 装置	放射性同位 元素	局在化	機能診断	被曝

# 2)X線診断装置

#### (1) X線診断装置の歴史

1895 Roentgen: X線

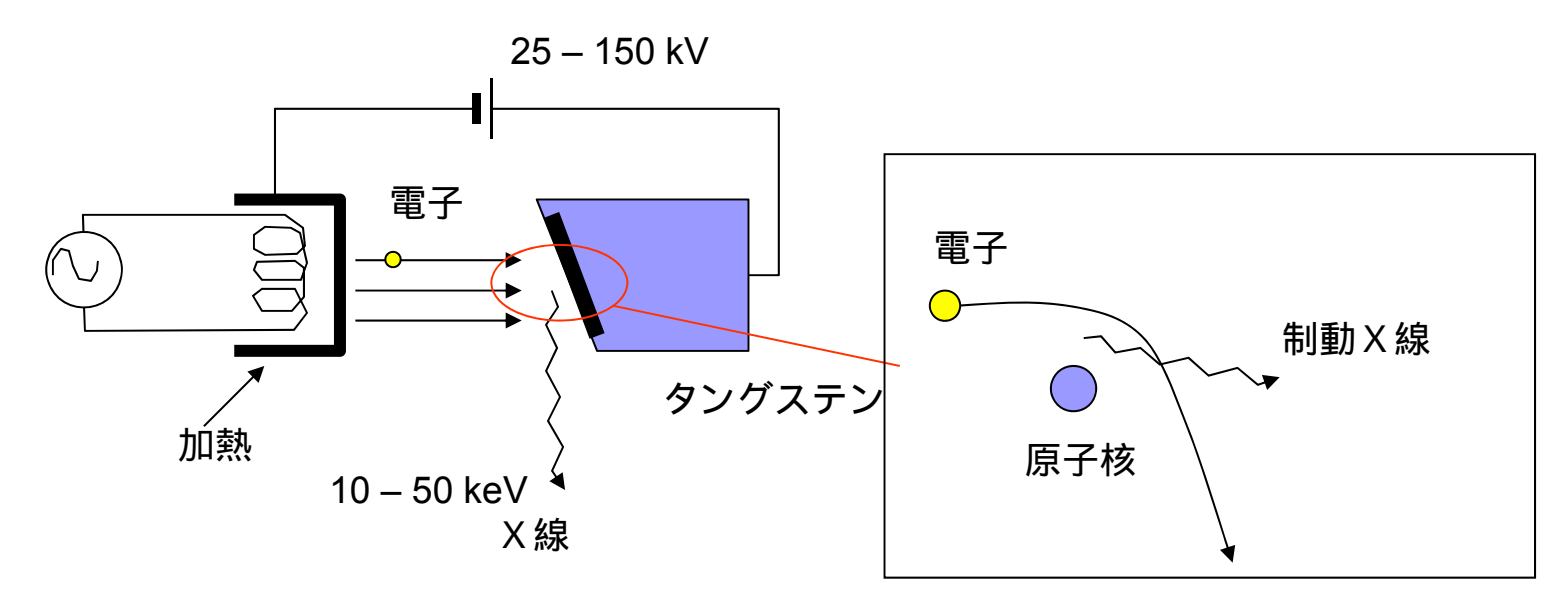
1898 Levy: X線フィルム

1918 Coolidge:人体イメージング用X線管

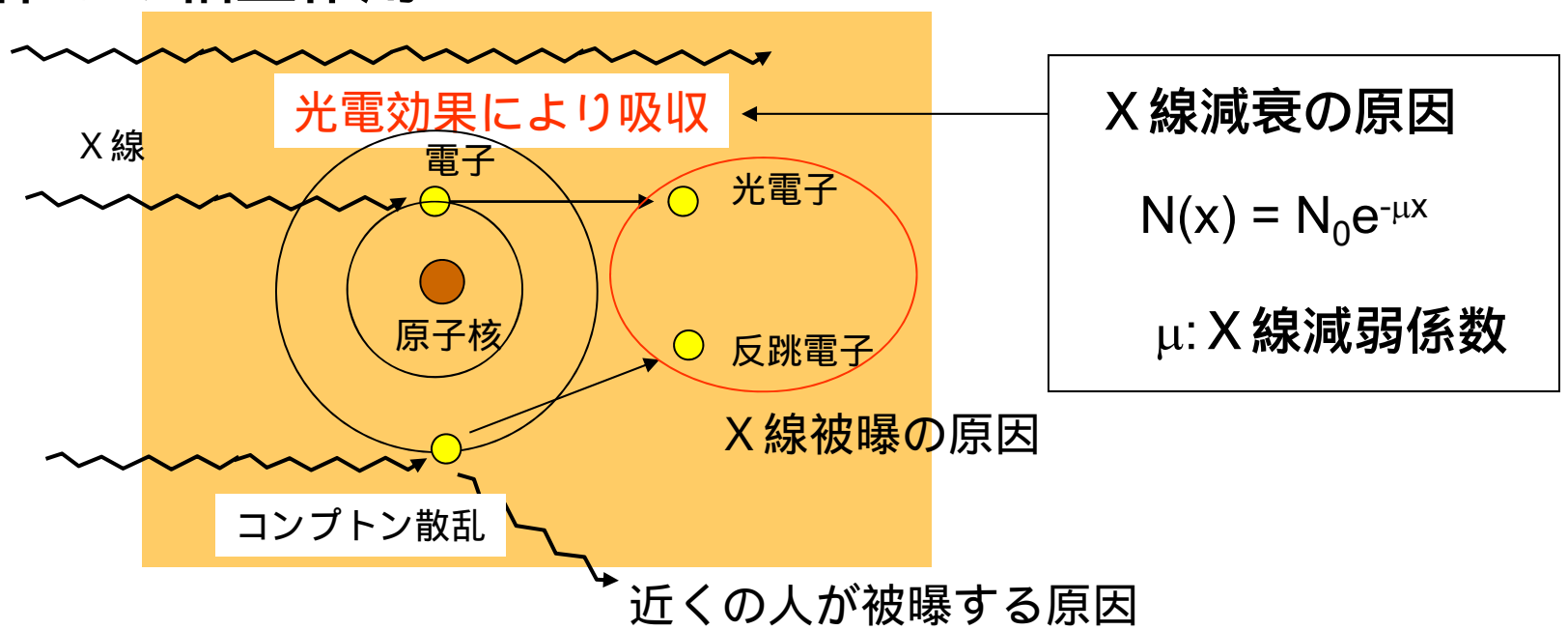
1934 Holst:イメージインテンシファイア

#### (2) X線管: X線の発生

X線は電磁波、フォトン



#### (3) 人体との相互作用



#### (4) X線の量

吸収線量:物質1kgにつき、1Jのエネルギー吸収が起こる線量:1Gy(グレイ)

実効線量:吸収線量に組織毎の補正を行い全身で合計:単位Sv(シーベルト)

自然放射線: 1~3 mSv(1人1年間)

放射線作業者:50 mSv (発癌率で差が出ない)

発癌の相関: 200 mSv 以上

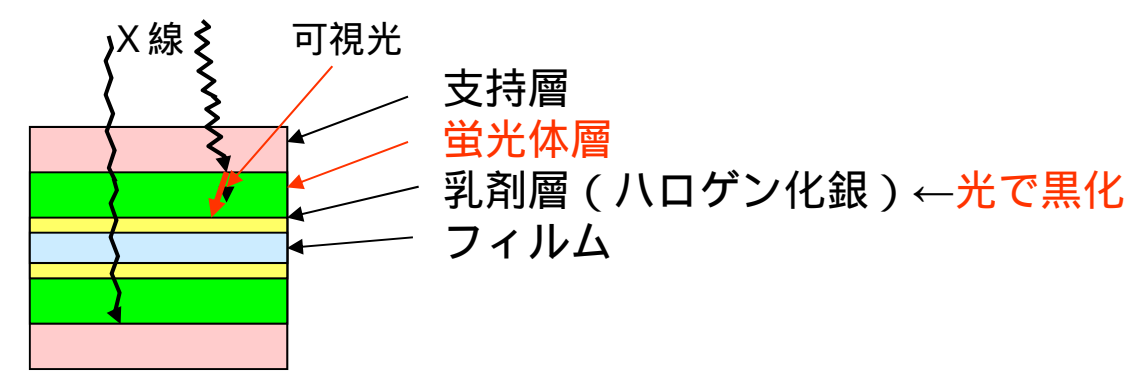
胃 X 線検査: 0.6 mSv CT: 10 mSv

#### (5) X線検出器

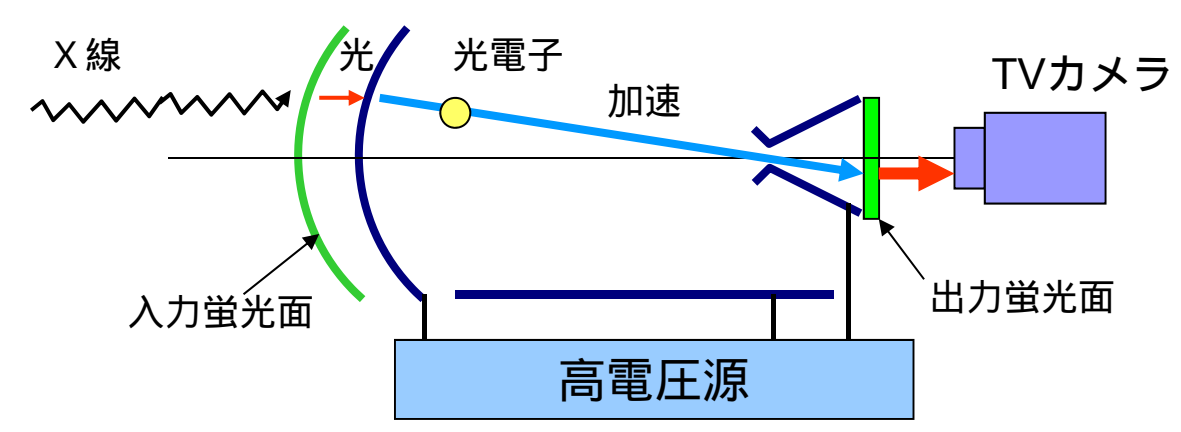


- ・フィルム
- ・イメージインテンシファイア→T V カメラ
- ・イメージングプレート
- ・フラットセンサー(間接型)

#### a) フィルム



#### b)イメージインテンシファイア

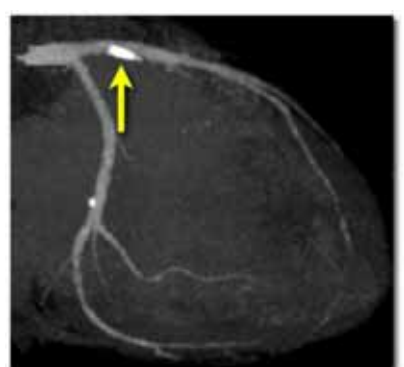


CT

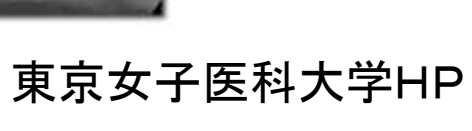




GE Healthcare Japan HP







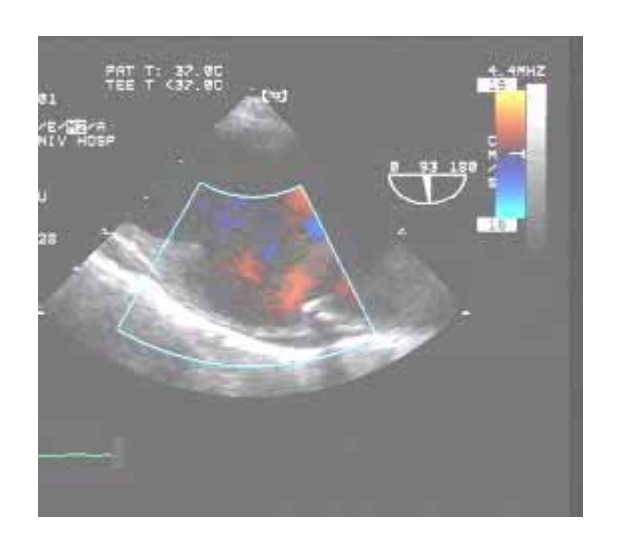


# 3)超音波計測法

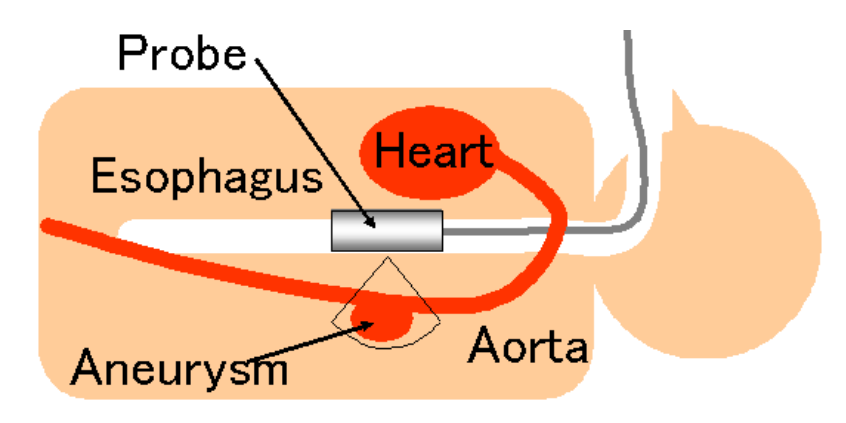
## 超音波診断装置



超音波診断装置



カラードプラ計測結果



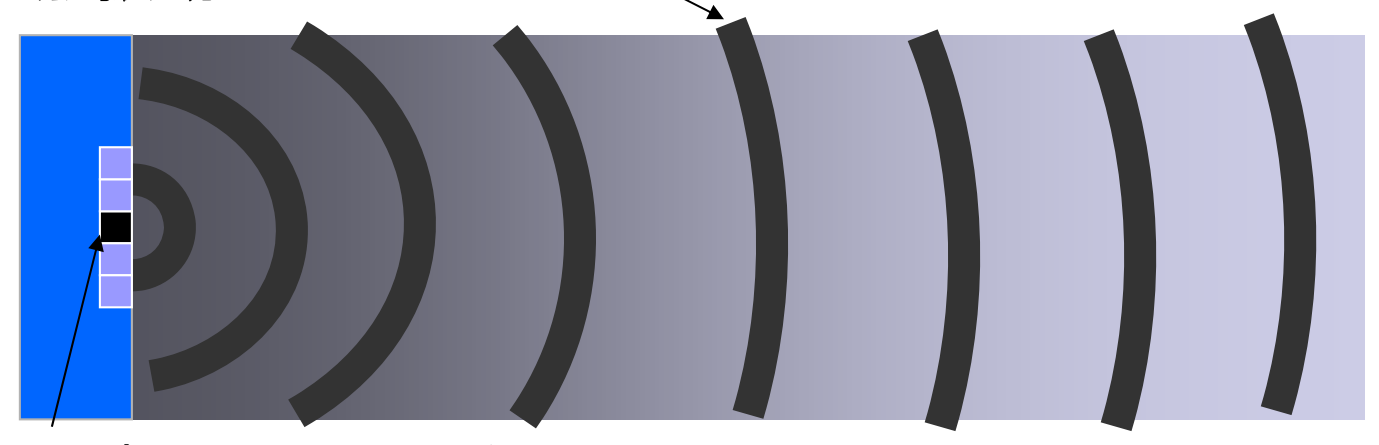
下行大動脈に発症した動脈瘤

#### 超音波計測の原理

超音波ビーム

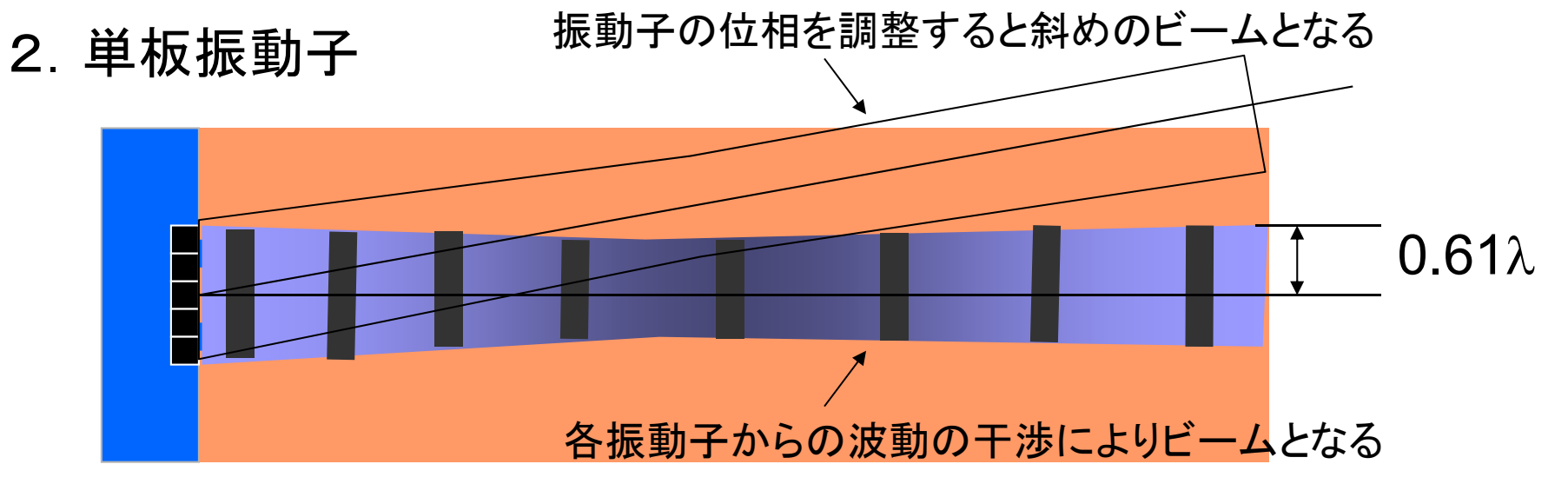
1. 点振動子

音速  $c = \sqrt{K/\rho} = 1540$  m/s ± 6% (生体組織) 周波数 f = 5 MHz (高いほど減衰が大きい) 波長  $\lambda = c/f = 0.3$ mm



球面波

圧電素子:アクチュエータ&センサ

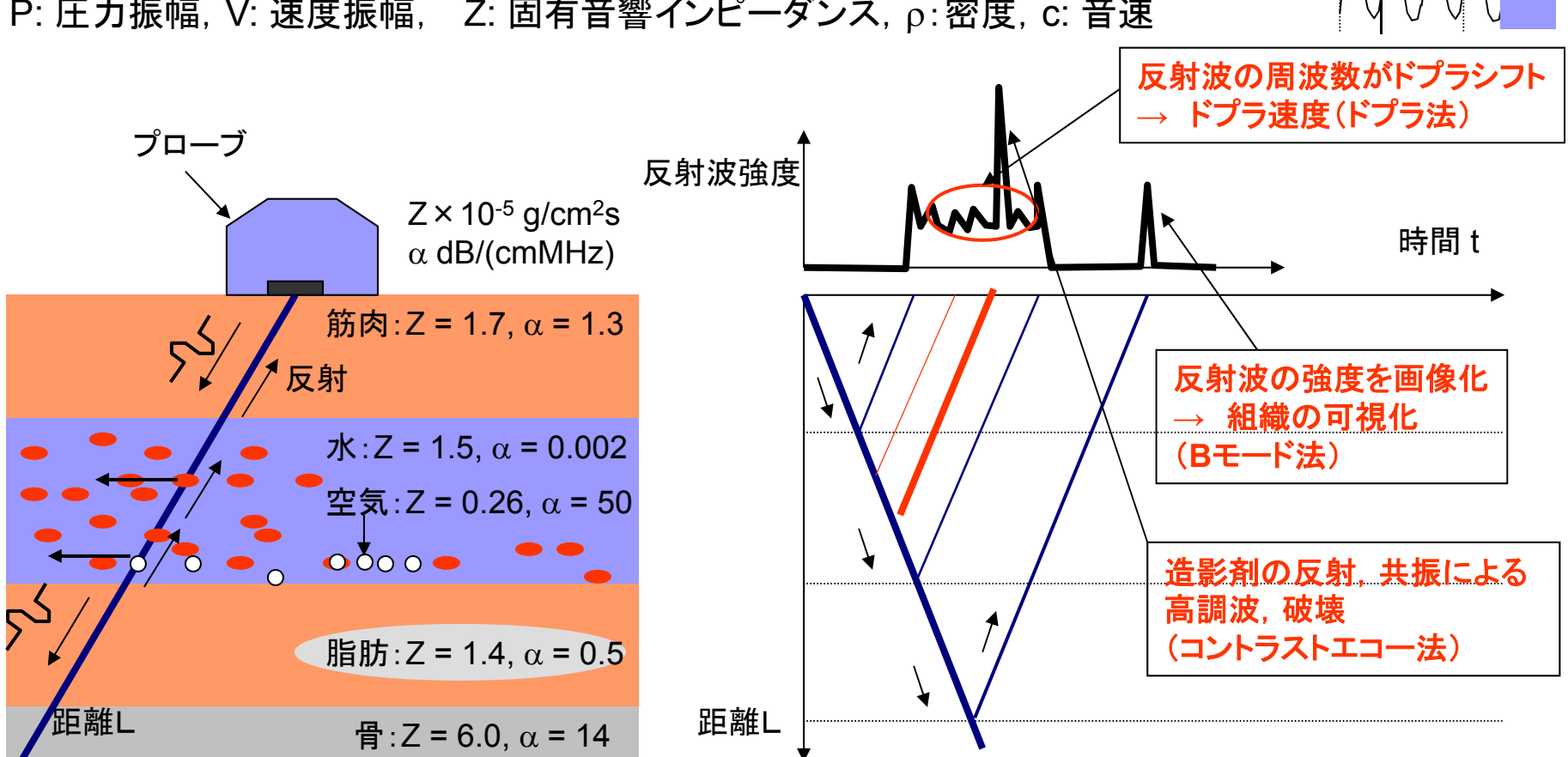


#### Bモード法とドプラ法

Bモード法: 固有音響インピーダンスの異なる界面での反射を利用 ドプラ法:速度に比例した周波数シフトを利用

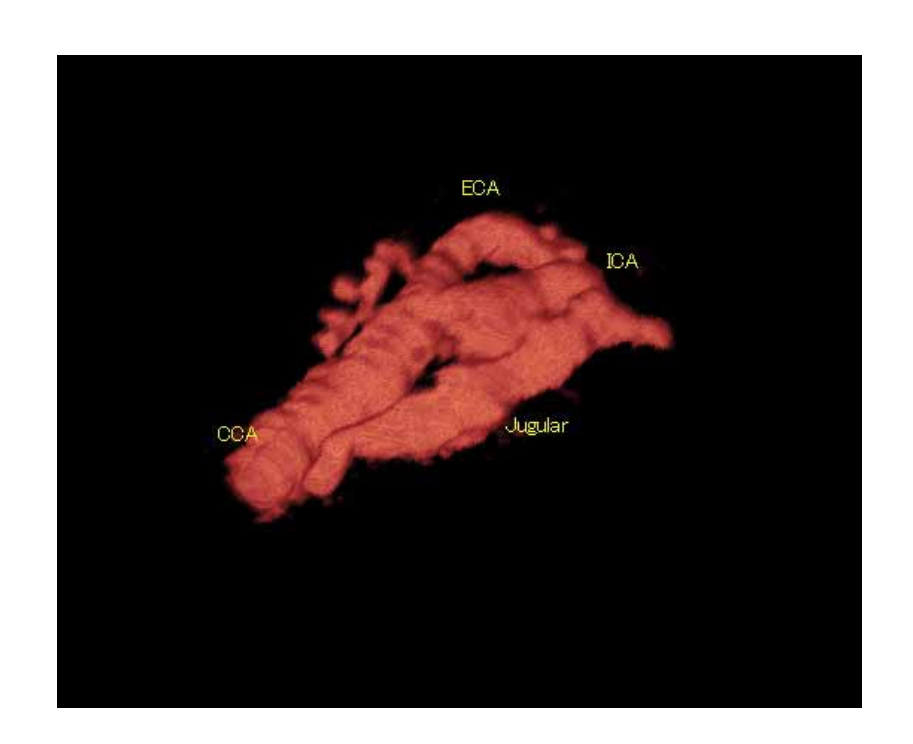
圧力振幅と速度振幅の関係: P = ZV ここで  $Z = \rho C$ 

P: 圧力振幅, V: 速度振幅, Z: 固有音響インピーダンス, ρ: 密度, c: 音速



## 超音波計測の例





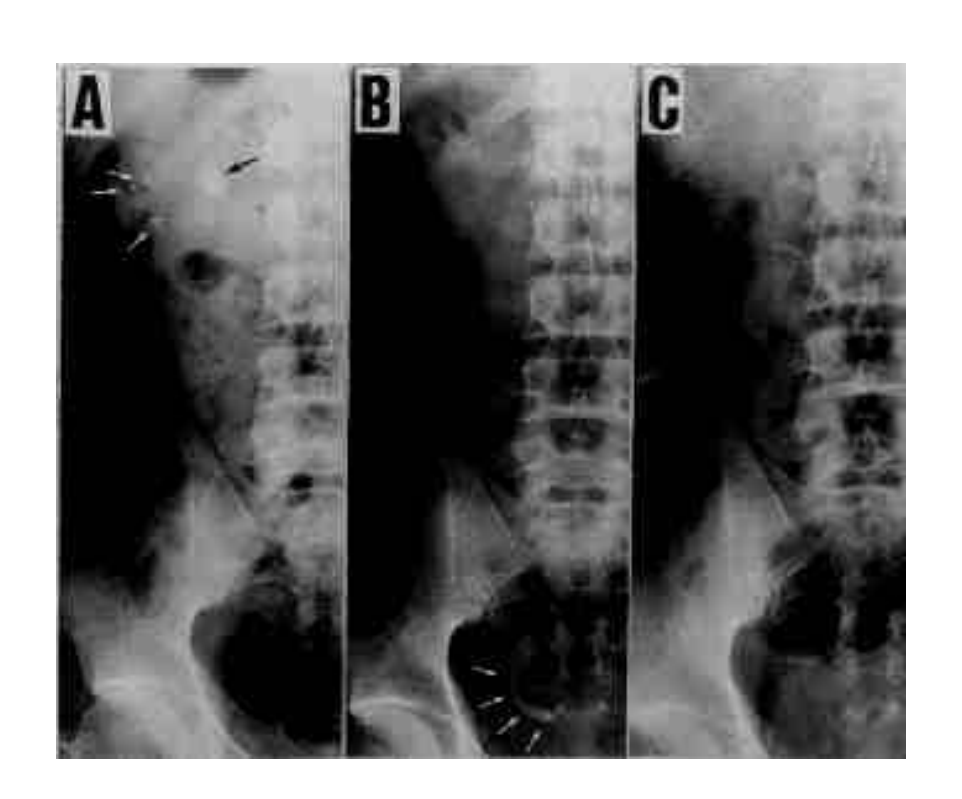
GE Healthcare Japan HP

## 4. 血液の流れに関する研究(東北大学)

- 1) 衝擊波結石破砕装置
- 2) 脳動脈瘤内の血流シミュレーション
- 3) 振動流型人工心臓の開発
- 4) ナノテク人工心筋
- 5) 心臓内血流シミュレーション
- 6) 超音波計測融合血流シミュレーション
- 7) 細胞の摩擦特性の計測
- 8) 磁気マイクロマシン
- 9) 肺毛細血管内の白血球の流動

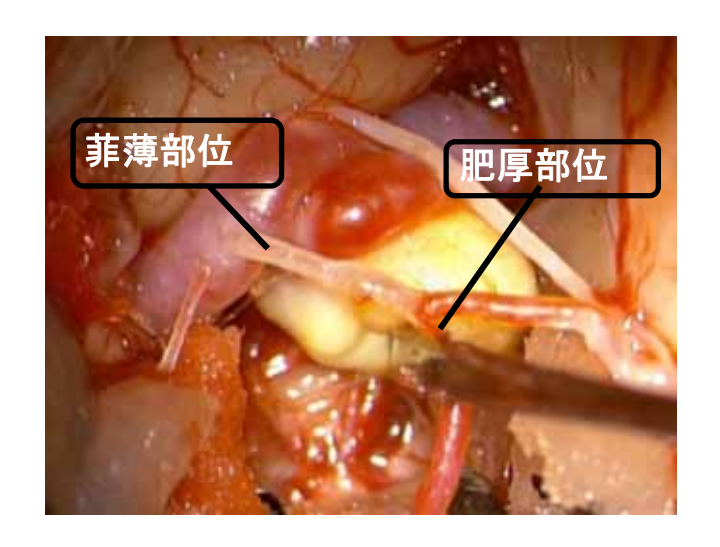
## 1) 衝擊波結石破砕装置

## 東北大で開発した最初の体外衝撃波結石破砕術

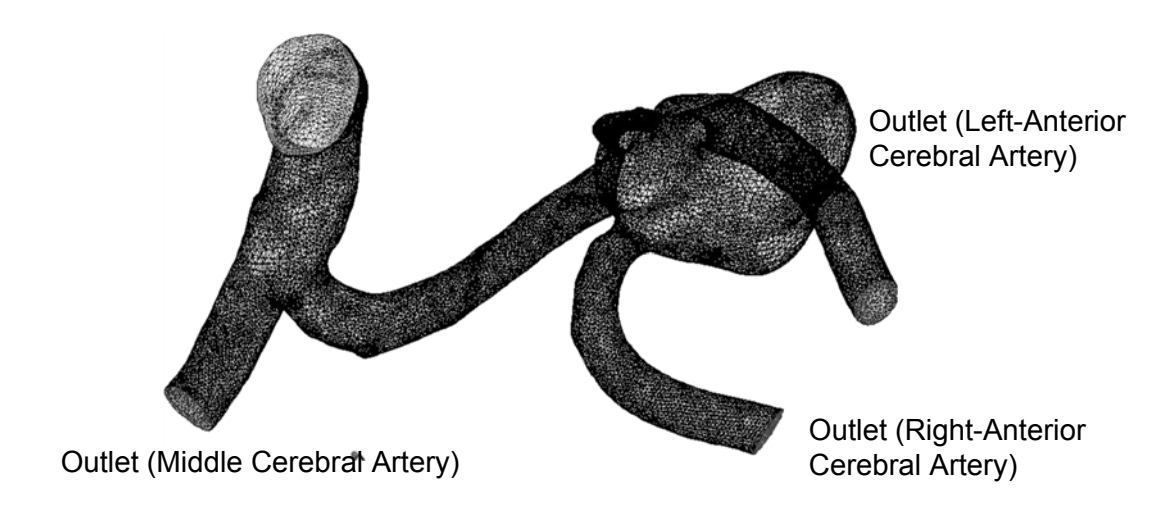


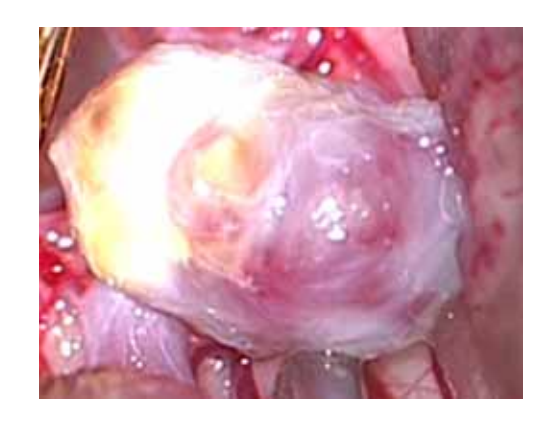
#### 2)脳動脈瘤内の血流シミュレーション

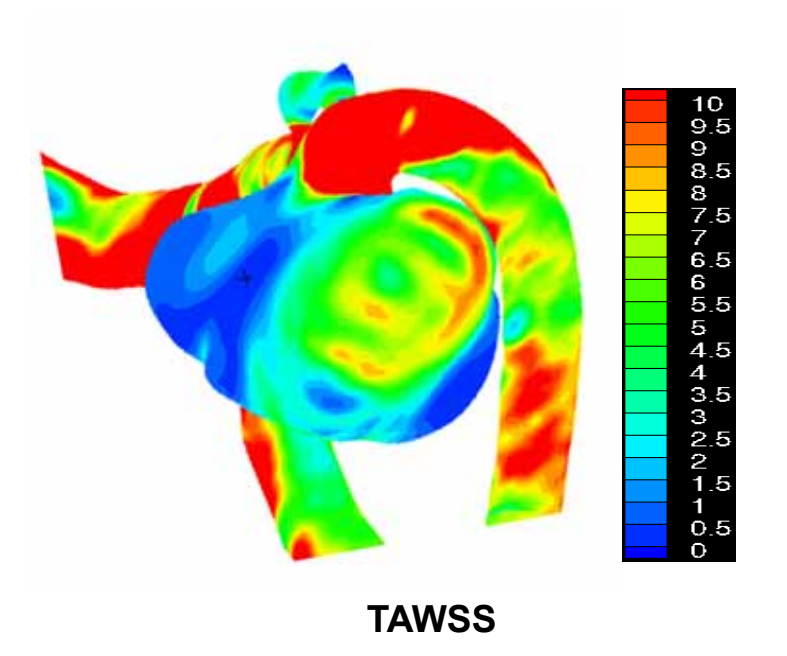
#### 流体科学研究所と医学部との共同研究



Inlet (Internal Carotid Artery)







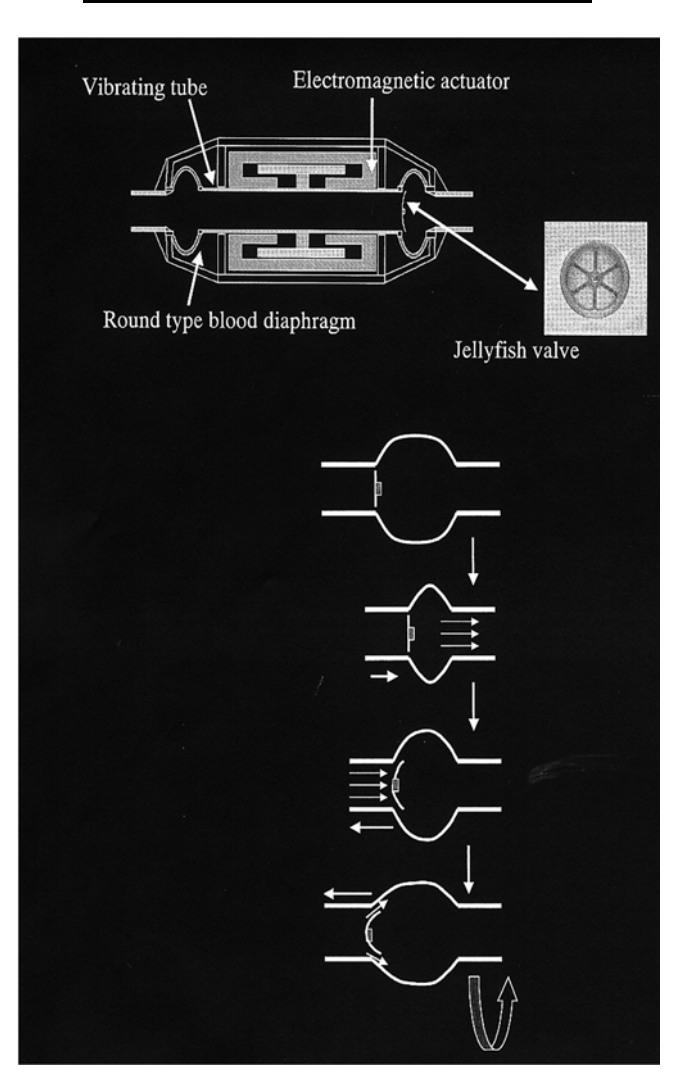
# 3)振動流型人工心臓の開発

## 加齢医学研究所+ 流体科学研究所

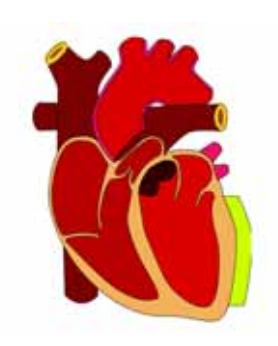
人間の心臓 = 約1Hzで、60-80m/ 小型化人工心臓= 20Hzで、3-4m//



#### 振動流ポンププロジェクト

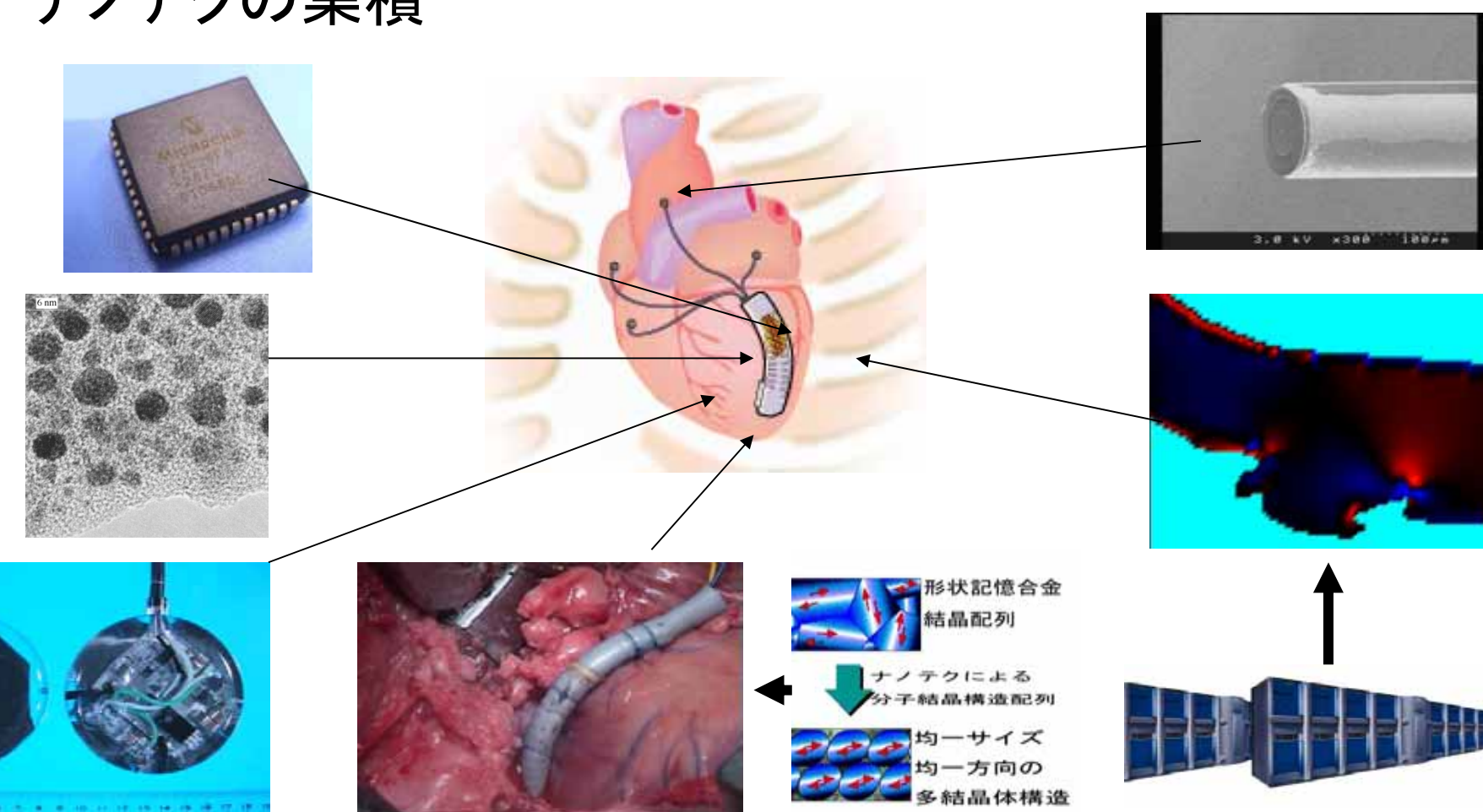


# 4) ナノテク人工心筋



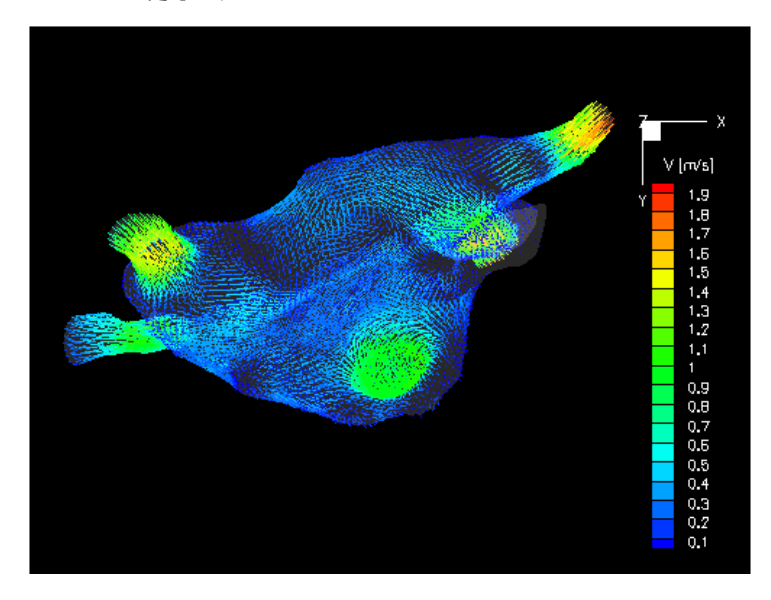


■ ナノテクの集積

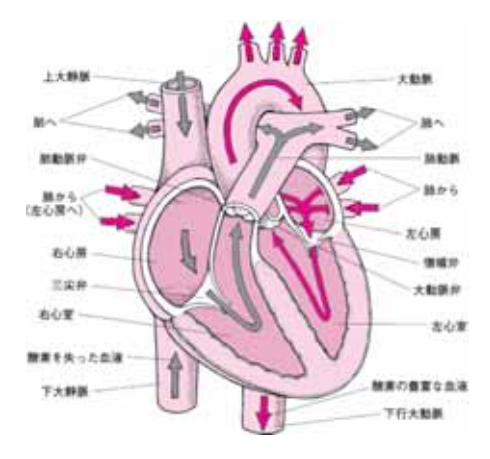


#### 5) 心臓内血流シミュレーション

#### 心房細動による血栓形成メカニ ズムの解明



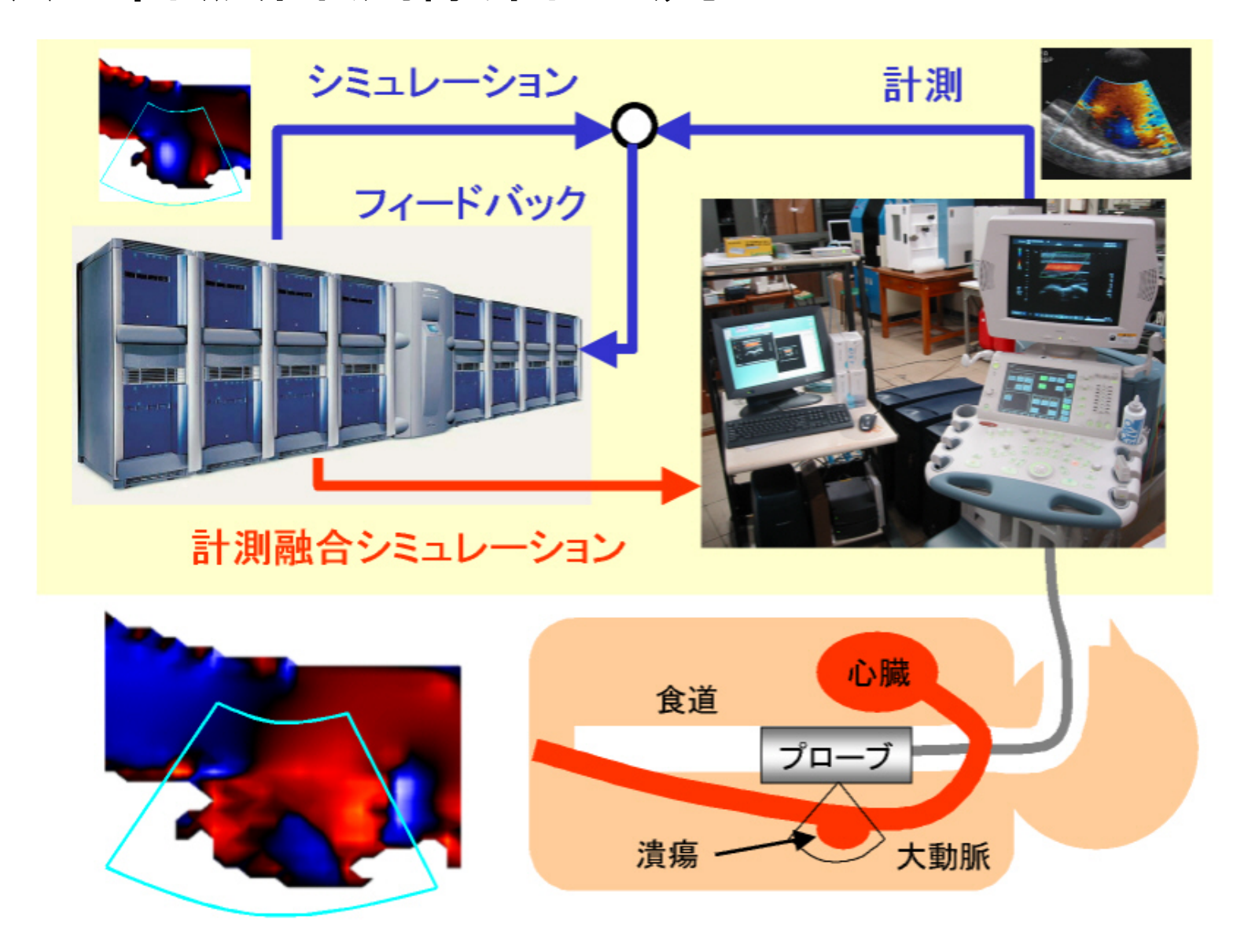
左心房に発生する心房細動のシミュ レーション



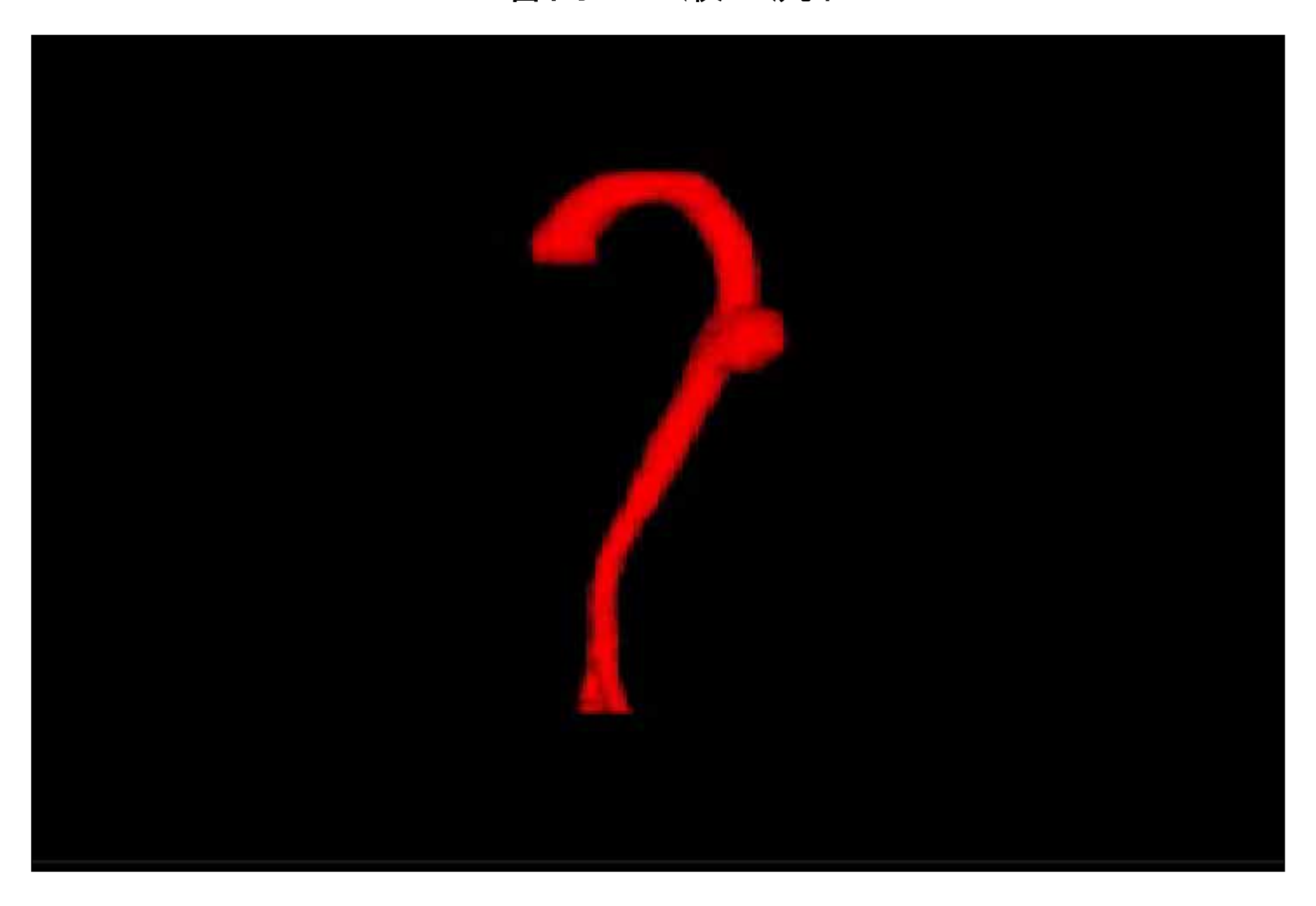
2014090204 QUICK t = 1-2 Hilling 11111111 P 180 140 100 60 20 -20 -60 -100 -140

左心室内の血流シミュレーション

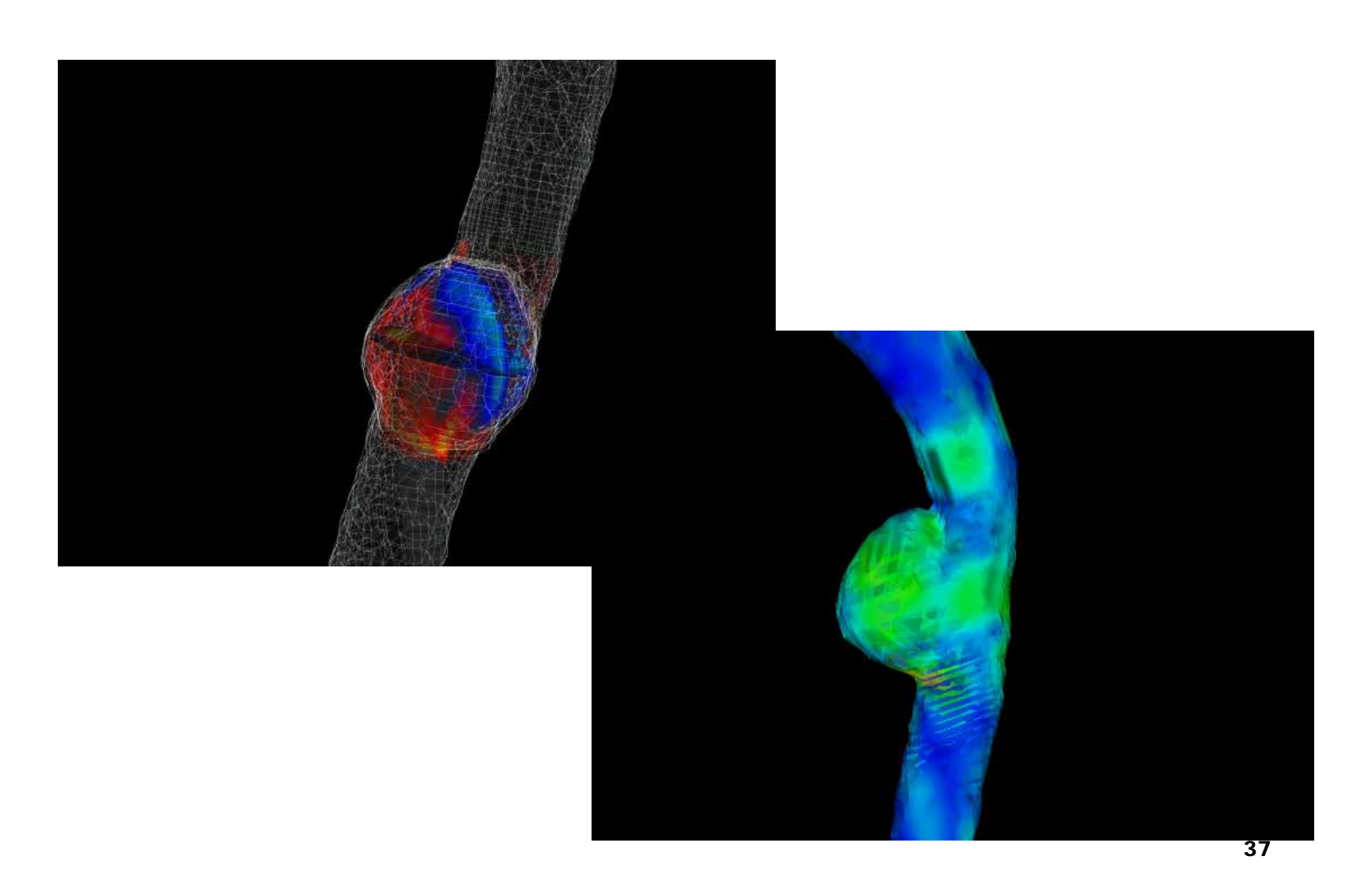
# 6) 超音波計測融合血流シミュレーション



## 血管内の血液の流れ



#### 大動脈瘤内の血流の再現結果

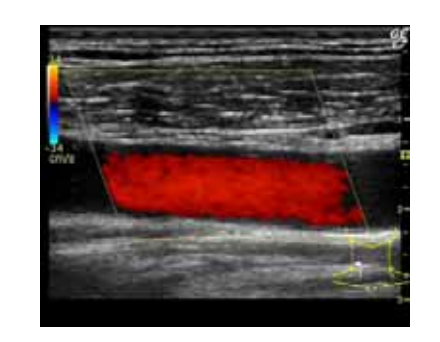


#### 頸動脈内血流の2次元解析(臨床応用)

#### 頸動脈

- ▶ 動脈硬化の好発部位
- ▶ 超音波診断
- ➤ 内中膜厚さ (IMT)
  - →動脈硬化の診断
  - → 予測パラメータ?





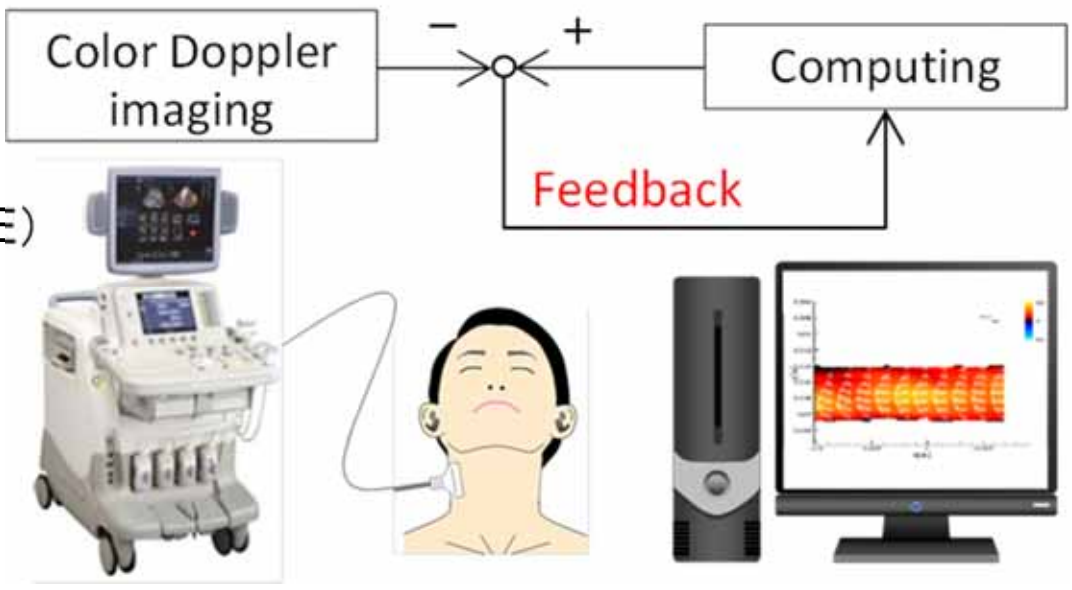
2次元超音波計測融合(2D-UMI) シミュレーションシステム

➤ 超音波診断装置 (LOGIQ7, GE)

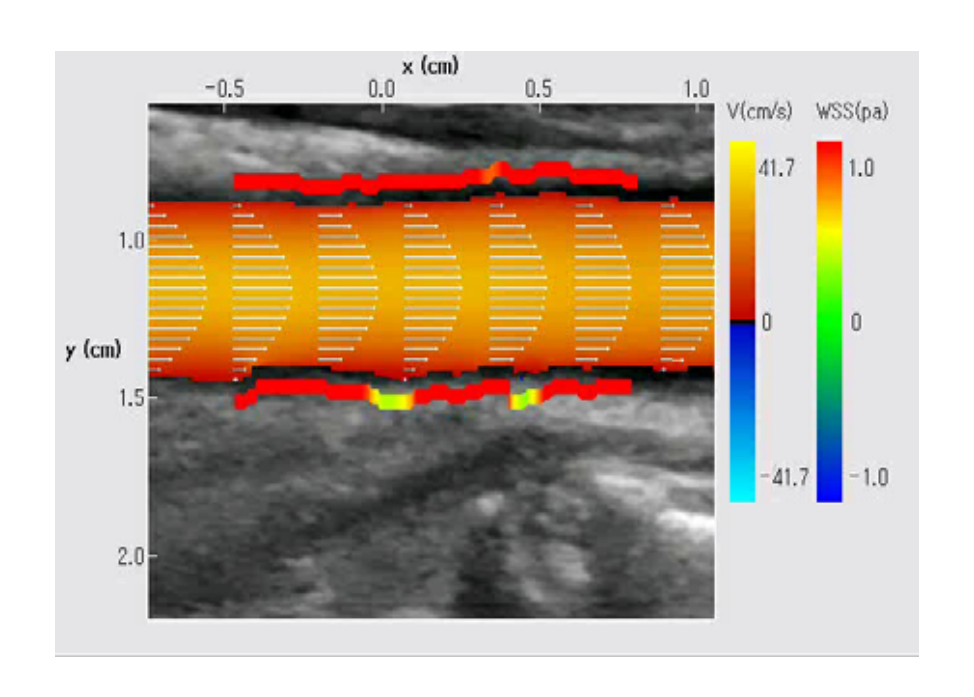
➤ 2D血流解析 (Altix, SGI)

#### 目的

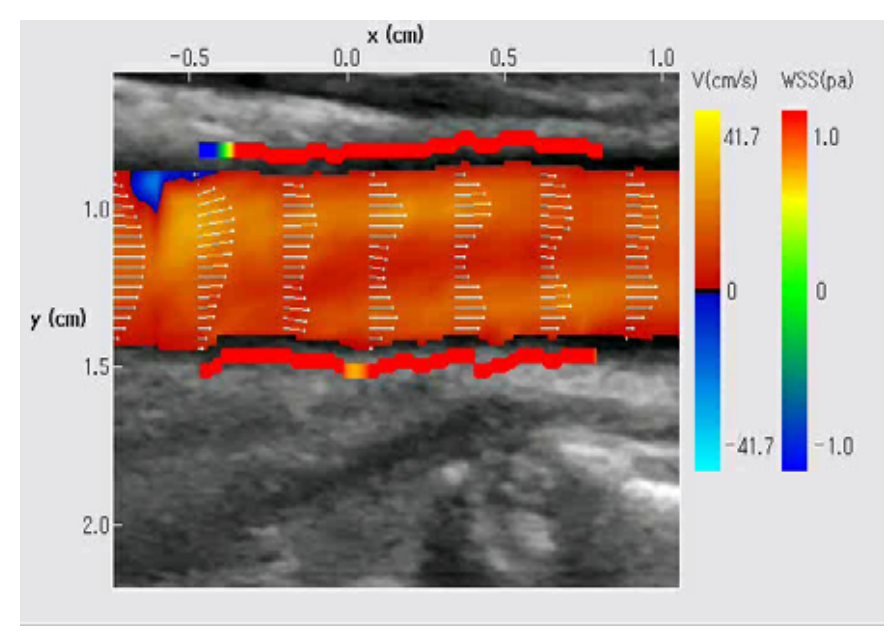
動脈硬化の予測パラメータ



#### フィードバックの効果



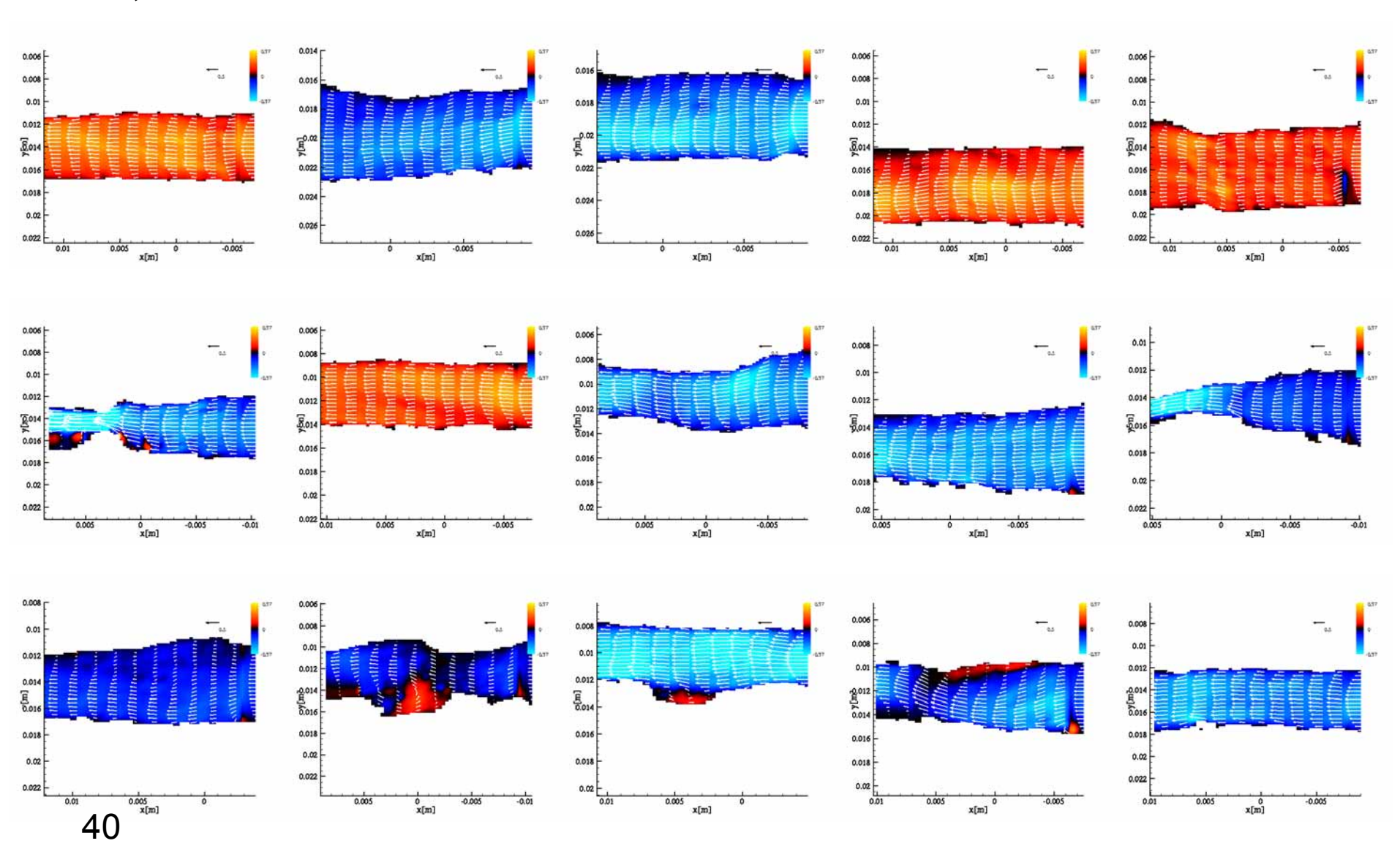
通常のシミュレーション e = 6.7%



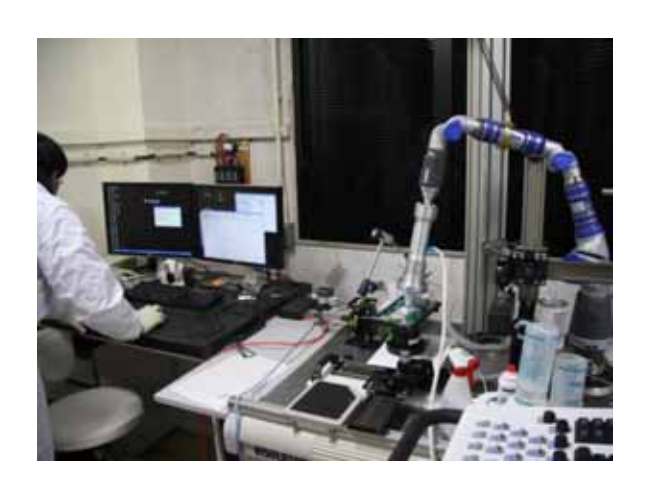
UMI シミュレーション  $(K_v^*=100)$ e = 2.5%

## 臨床データの解析

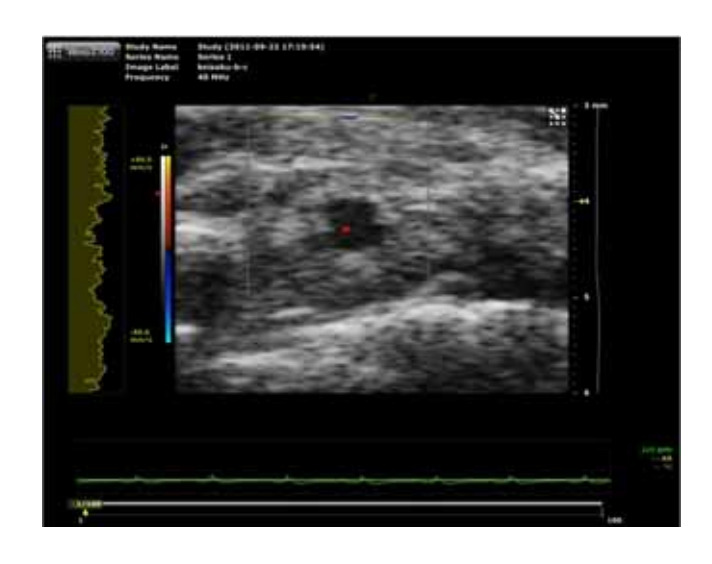
13名, 73 例



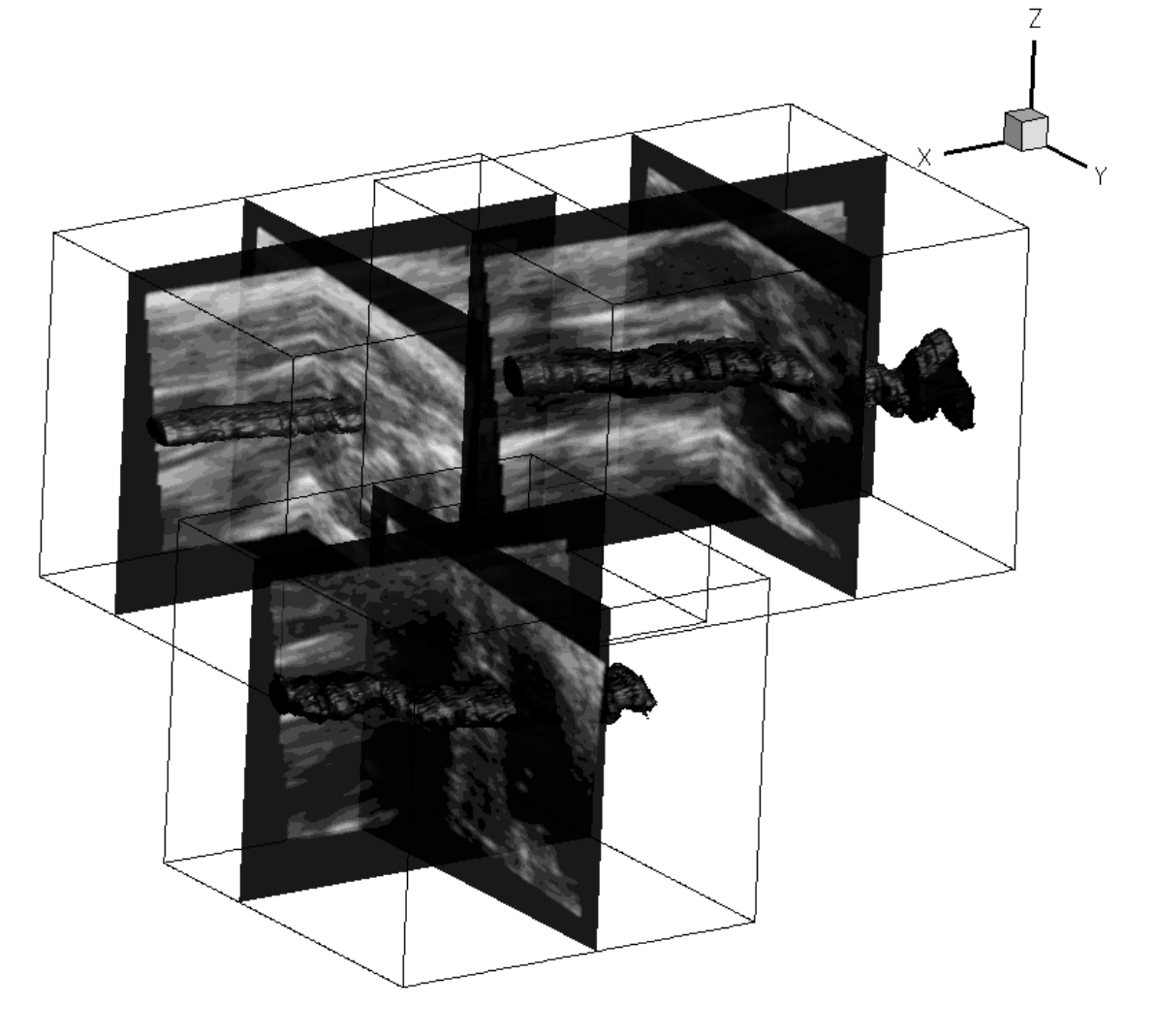
#### マウス頸動脈の3次元計測



実験の様子

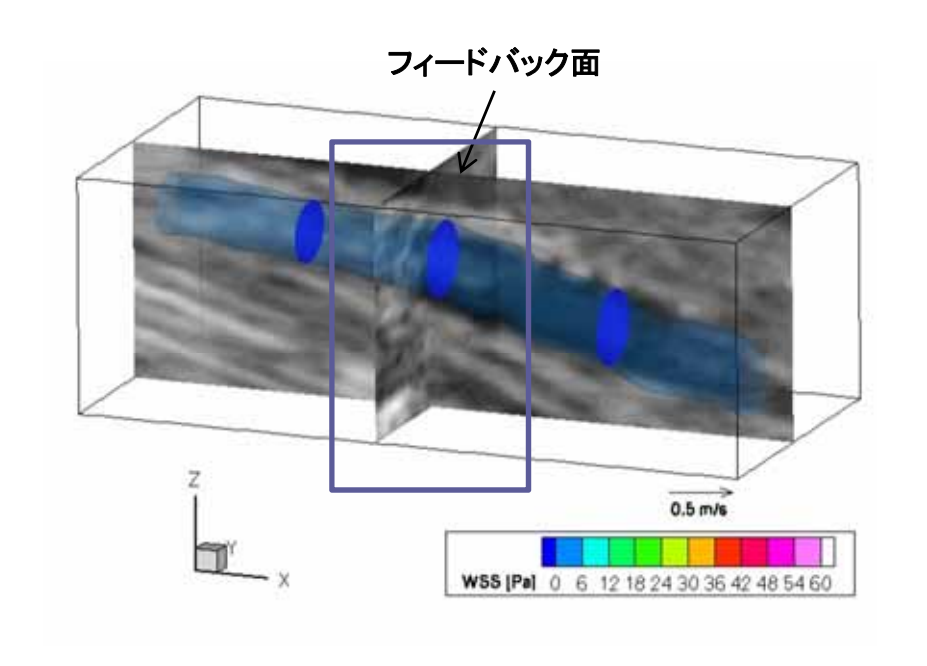


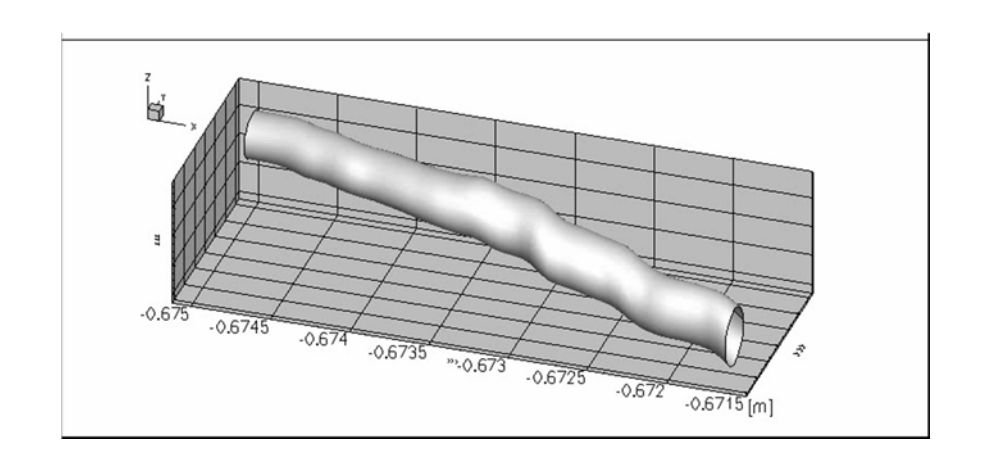
頸動脈カラードプラ計測結果

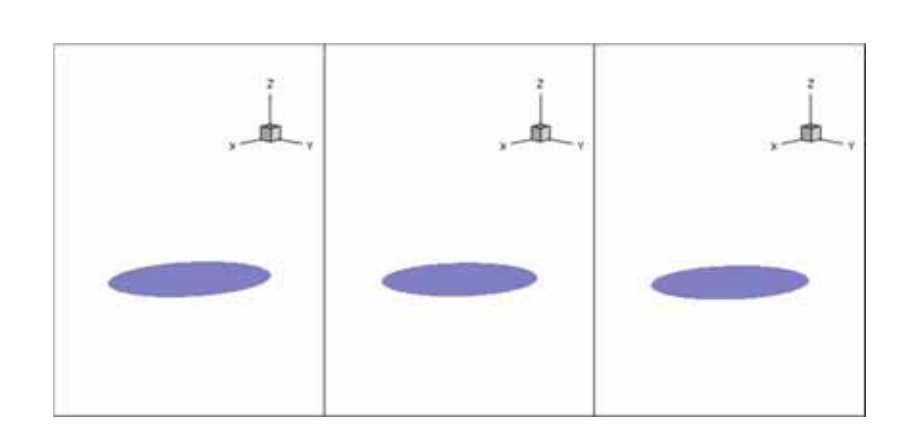


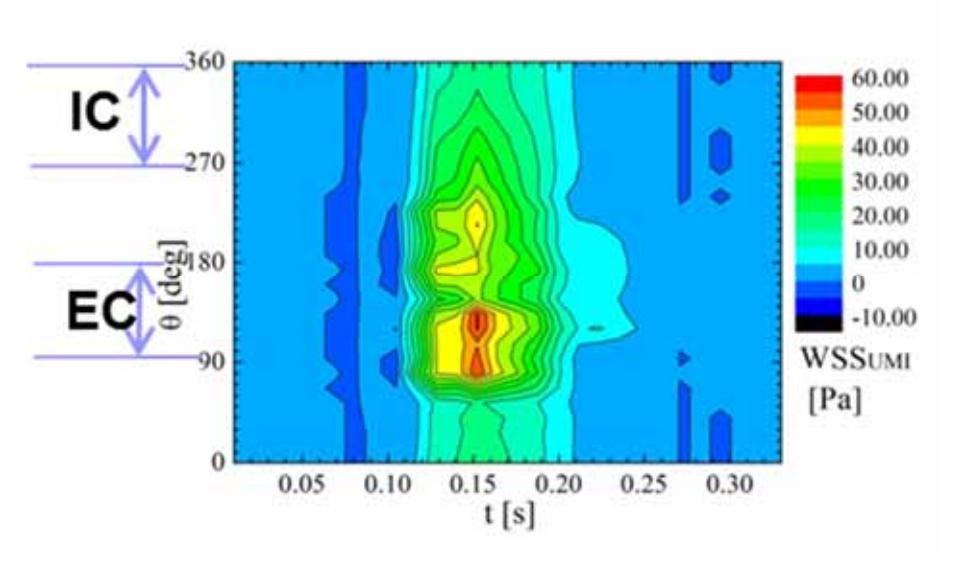
3回の計測により抽出された2本の頚動脈の血管形状と、血管断面の計測画像

## マウス頸動脈内の血流解析結果



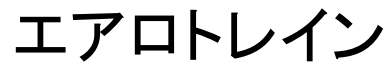


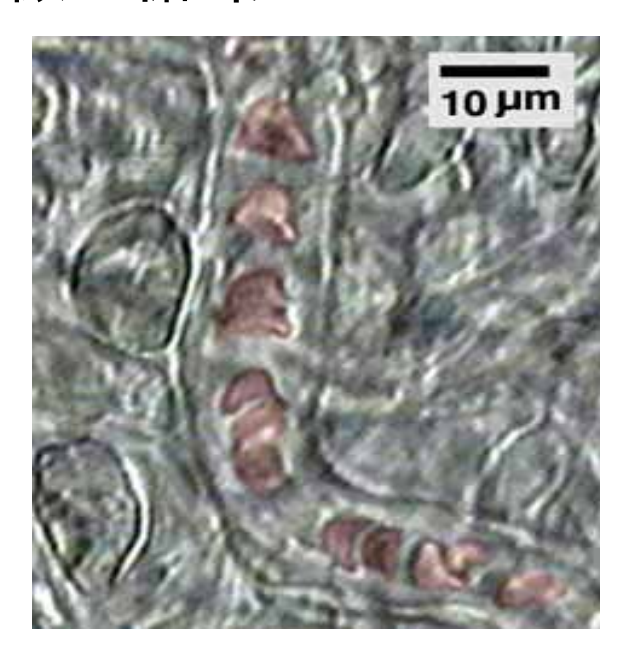




# 7) 細胞の摩擦特性の計測

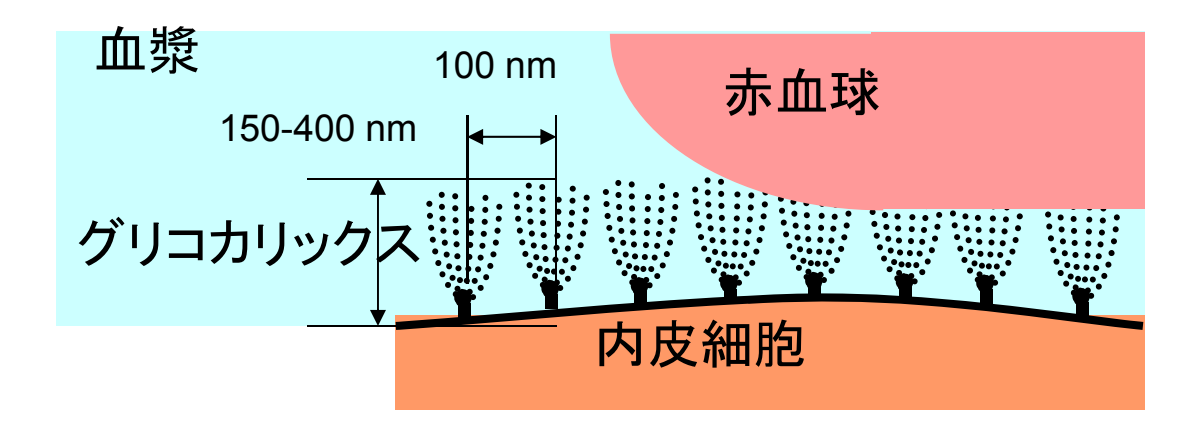
微小循環



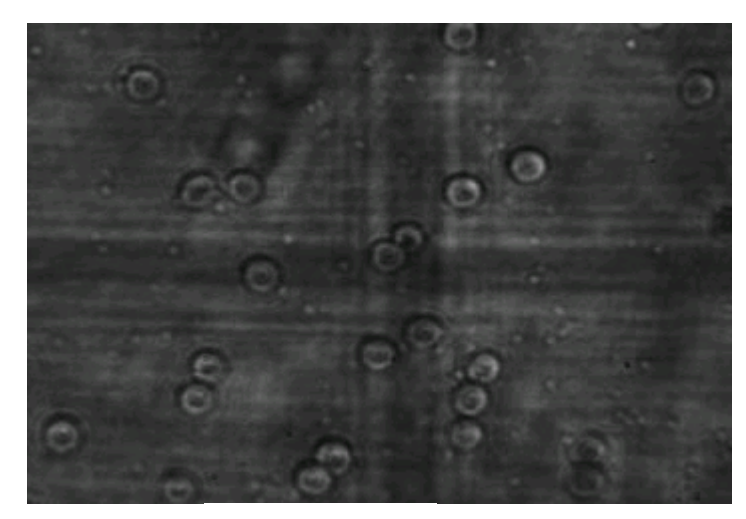




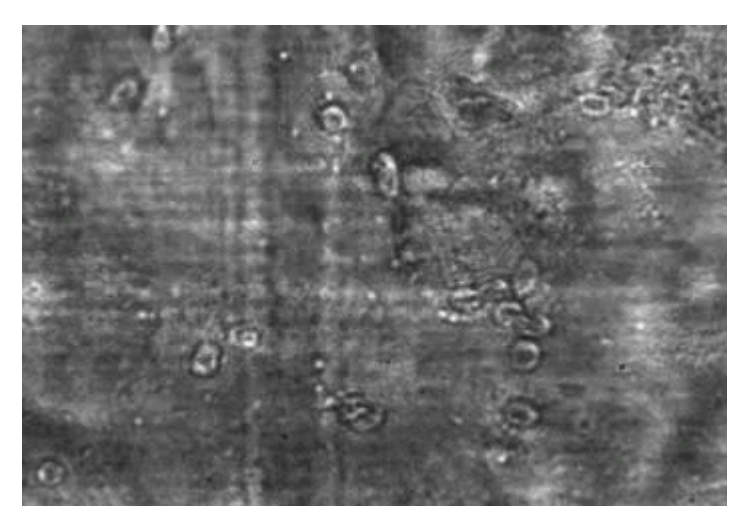




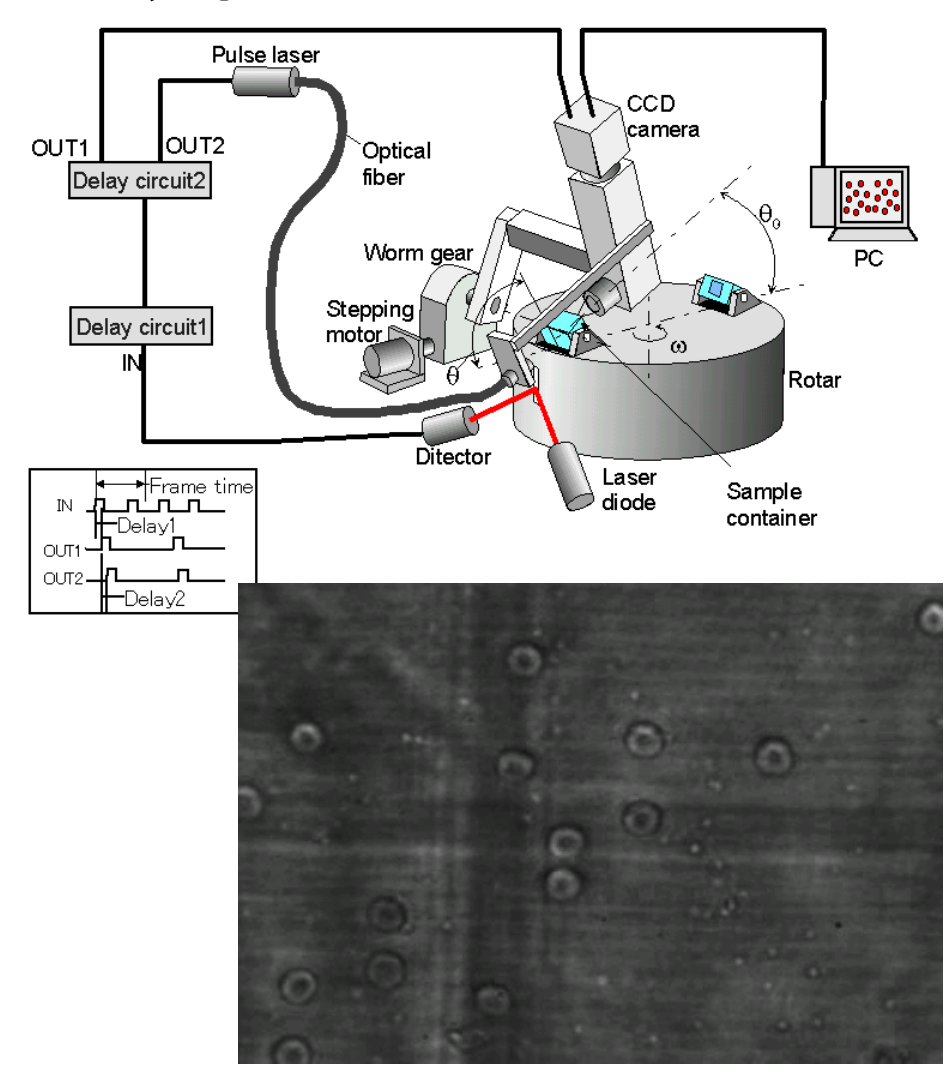
#### 傾斜遠心顕微鏡による観察



ガラス板



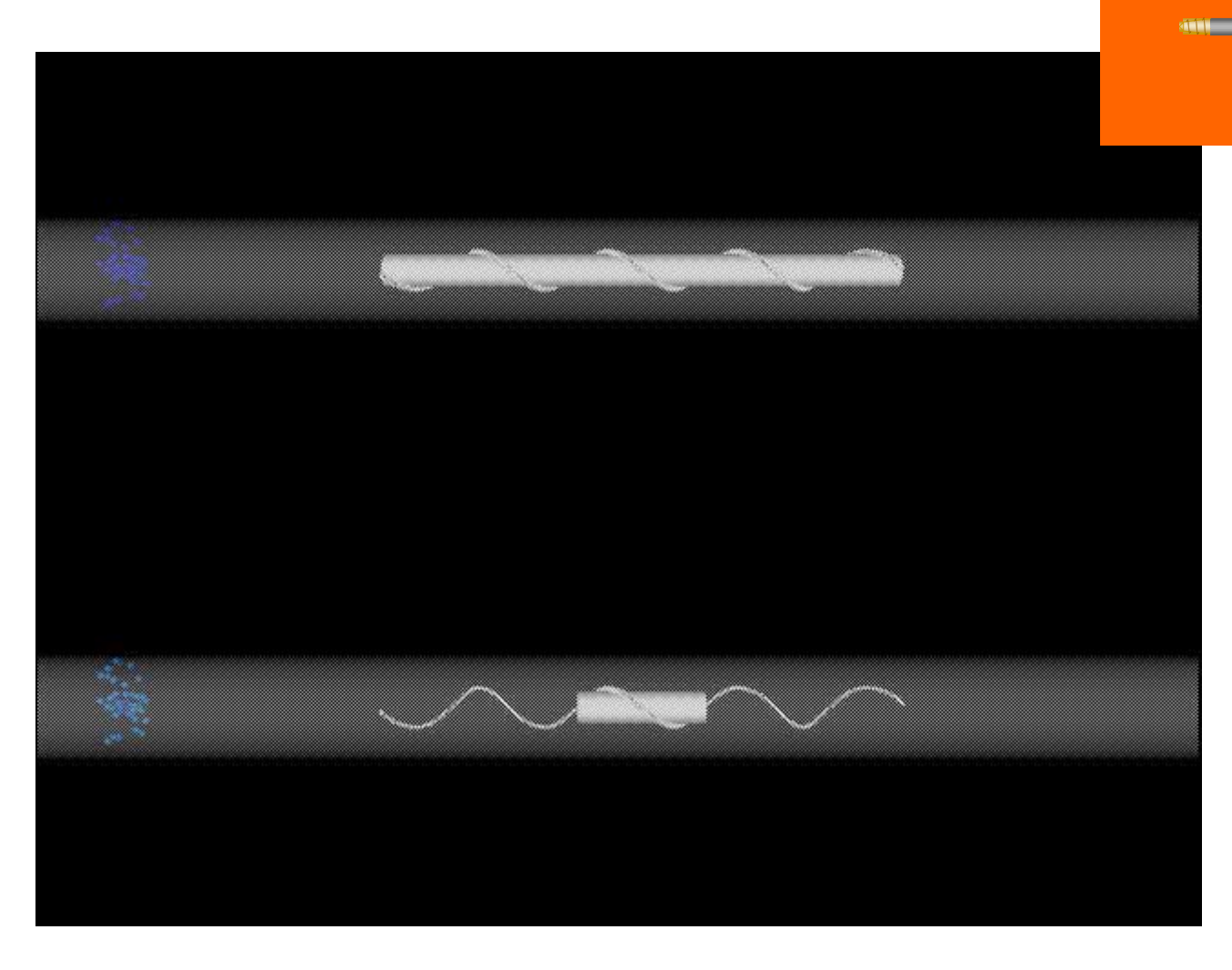
内皮細胞を培養したガラス板



ダイアモンドライクカーボンを コーティングしたガラス板

## 8)磁気マイクロマシン

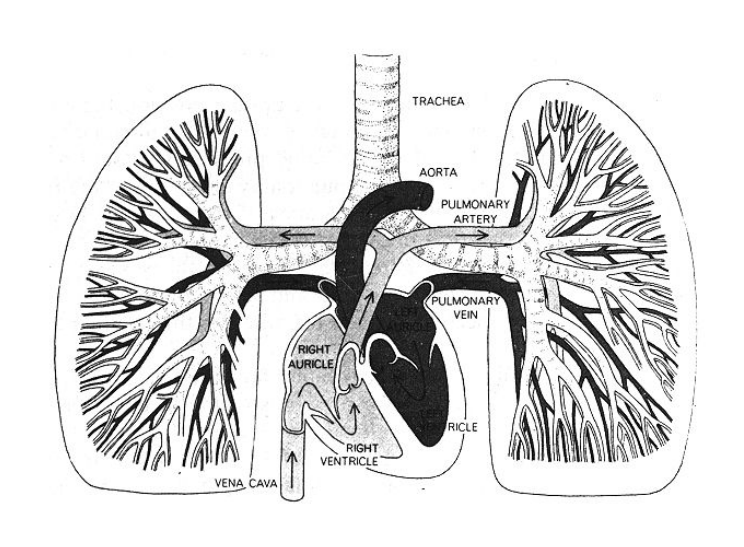
電気通信研究所と流体科学研究所の共同研究

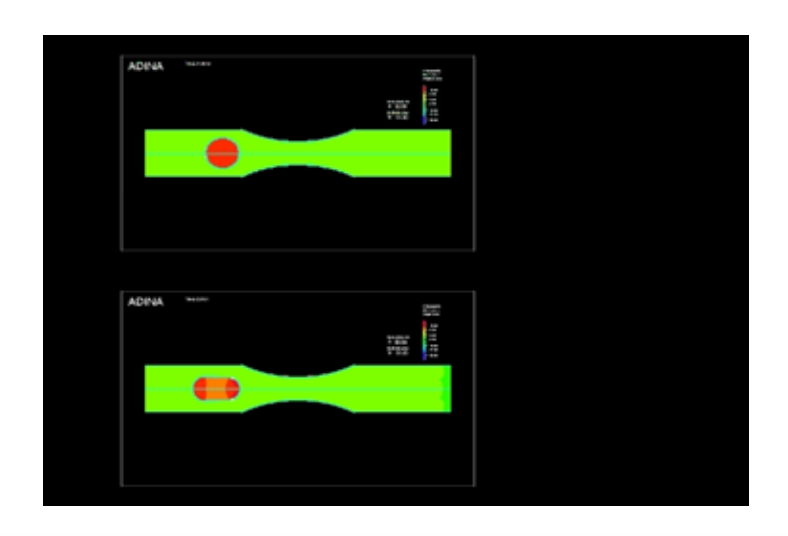


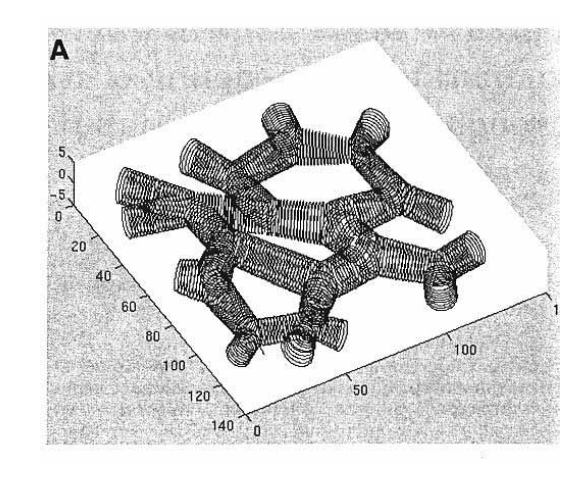
注射器で血管に注入 胴体に磁石 外部磁界で回転 ブレードで推進 血栓除去 放射線のターゲット 抗がん剤注入

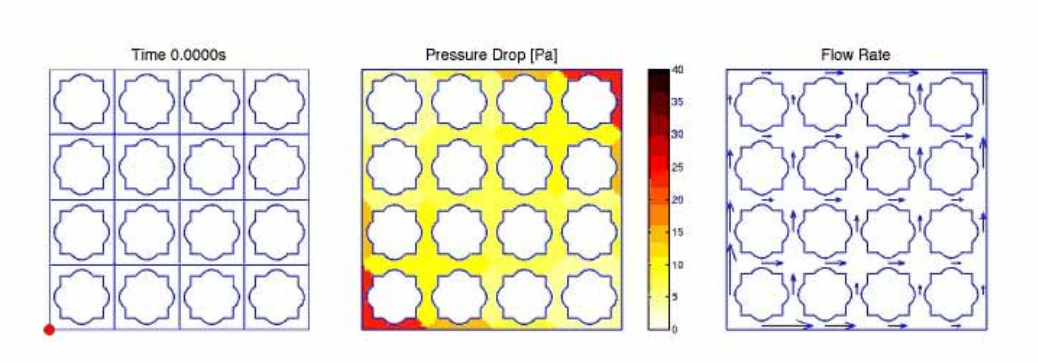
# 9)肺の毛細血管内の白血球の流動

#### 流体科学研究所とMITの共同研究









## まとめ

- 1. はじめに
- 2. 血液の流れ(循環系)
- 3. 血液の流れの計測
- 4. 血液の流れに関する研究
- 5. まとめ